



Fizica III – Electromagnetism

Aplicatii # 4

Teoremele campului electromagnetic (extragerea parametrilor R,L,C din modele de camp EM; modelare)

Prof.dr.ing. Gabriela Ciuprina gabriela@lmn.pub.ro

As.dr.ing. Mihai Popescu mihai_p@lmn.pub.ro

S.I..dr.ing. Sorin Lup sorin@lmn.pub.ro

Teoremele campului EM – concepte si experimente virtuale

Experimente reale - in sedintele de aplicatii #5 si #6.

1. Teorema condensatorului liniar

1. Enunt. Extragerea capacitatii.
2. Capacitatea condensatorului plan paralel.
3. Capacitatea condensatorului cilindric (cablu coaxial)
4. Capacitatea liniei bifilare.
5. Metoda generala de extragere a C folosind rezolvarea unei probleme de regim electrostatic (ES).

2. Teorema rezistorului liniar

1. Enunt. Extragerea rezistentei/conductantei.
2. Rezistenta unui conductor cu camp uniform.
3. Rezistenta cablului coaxial.
4. Rezistenta liniei bifilare.
5. Metoda generala de extragere a R folosind rezolvarea unei probleme de regim electrokinetic (EC).
6. Similitudinea ES – EC. Conductanta de pierderi a unui cablu coaxial.

3. Teorema bobinei liniare

1. Enunt. Extragerea inductivitatii.
2. Inductivitatea unui solenoid.
3. Inductivitatea a unui cablu coaxial.
4. Inductivitatea liniei bifilare.
5. Metoda generala de extragere a L folosind rezolvarea unei probleme de regim magnetic stationar (MG).

4. Modelarea unui cablu coaxial

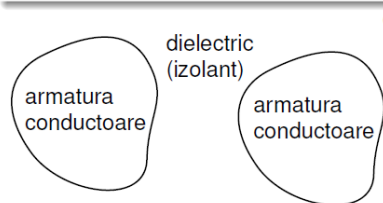
1. Modele de circuit cu parametri concentrati.
2. Descrierea si simularea modelelor in LTSpice.
3. [Facultativ] Rezolvare analitica in regim armonic permanent. Matrice de impedanta/admitanta/transfer.

1. Teorema condensatorului liniar

1.1. Enunt. Extragerea capacitatii.

Condensator, definiție

Condensator = dispozitiv alcătuit din două armături conductoare separate printr-un dielectric.



Obs:

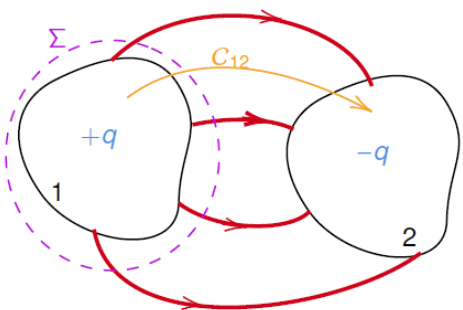
- Nu există restricții legate de forma armăturilor sau plasarea lor în spațiu;
- Armăturile sunt separate (nu se ating);
- Dielectricul este presupus izolant perfect.

Dacă o armătură este electrizată, atunci în jurul ei apare câmp electric (conform LFE). Vom nota q_1 , q_2 sarcinile armăturilor.

Condensator încărcat

Un condensator este încărcat dacă

$$q_1 + q_2 = 0.$$



Vom nota

$$q_1 = q > 0 \text{ și } q_2 = -q < 0$$

Condensator liniar

Un condensator este liniar dacă dielectricul este liniar

$$\vec{D} = \epsilon \vec{E}$$

Condensator liniar încărcat - mărimi globale

- 1 Sarcina unei armături (conform LFE)

$$q = \oint_{\Sigma} \vec{D} \cdot d\vec{A}$$

- 2 Tensiunea dintre armături

$$u = \int_{C_{12}} \vec{E} \cdot d\vec{l}$$

Teorema condensatorului liniar - enunț

Sarcina electrică cu care este încărcat un condensator liniar este proporțională cu tensiunea la bornele sale.

$$q \sim u$$

$$\begin{aligned} \vec{D} &\sim \vec{E} && \text{din liniaritate} \\ q &\sim \vec{D} && \text{din LFE} \\ u &\sim \vec{E} && \text{din definiția tensiunii} \end{aligned}$$

$$\Rightarrow q \sim u$$

1. Teorema condensatorului liniar

1.1. Enunt. Extragerea capacitatii.

Capacitatea unui condensator

$$q = Cu$$

C - capacitatea condensatorului [F]

Obs:

- 1 C ar putea fi definită ca $C \stackrel{\text{def}}{=} \frac{q}{u}$ dar la condensatoarele liniare acest raport nu depinde nici de q nici de u ;
- 2 La condensatoarele neliniare $C(q)$ sau $C(u)$;
- 3 La condensatoarele liniare C depinde de datele geometrice (dimensiunile și forma armăturilor, distanța dintre ele) și de materialul dielectricului;
- 4 $C > 0$ este un parametru al condensatorului care descrie capacitatea sa de a se încărca cu sarcină electrică și deci de a produce câmp electric.
- 5 Teorema condensatorului liniar poate fi privită ca o formă globală a legii de material $\bar{D} - \bar{E}$, iar capacitatea C poate fi privită ca un parametru global asociat permitivității electrice ϵ .

Se demonstrează ca energia electrică acumulată într-un condensator liniar este

$$W_e = \int_D \frac{\bar{D} \cdot \bar{E}}{2} dv = \frac{qu}{2} = \frac{Cu^2}{2} = \frac{q^2}{2C}$$

Problema determinării capacității unui condensator liniar:

Date:

- Geometrice (forma, dimensiunile)
- De material (permitivitatea în fiecare punct din dielectric)

Se cere:

- Expresia capacității.

1. Teorema condensatorului liniar

1.1. Enunt. Extragerea capacitatii.

Ideea:

Problema extragerii C se reduce la calculul campului electric.

Se presupune condensatorul incarcat, se calculeaza campul electric, apoi se calculeaza capacitatea.

Metoda liniara

1. Se pp. condensatorul incarcat cu q ;
2. Se calculeaza campul electric (\vec{D}, \vec{E}) ;
3. Se calculeaza tensiunea dintre armaturi $u = \int_1^2 \vec{E} \cdot d\vec{l}$;
4. Se calculeaza capacitatea $C = \frac{q}{u}$.

sau

1. Se pp. o armatura de potential u si cealalta masa (ground, $V = 0$);
2. Se calculeaza campul electric (\vec{D}, \vec{E}) ;
3. Se calculeaza sarcina $q = \oint_{\Sigma} \vec{D} \cdot d\vec{A}$ a armaturii de potential u ;
4. Se calculeaza capacitatea $C = \frac{q}{u}$.

F3-EM, 2022-2023

Metoda energetica

1. Se pp. condensatorul incarcat cu q ;
2. Se calculeaza campul electric (\vec{D}, \vec{E}) ;
3. Se calculeaza energia acumulata in domeniu $W_e = \int_D \frac{\vec{D} \cdot \vec{E}}{2} dv$;
4. Se calculeaza capacitatea $C = \frac{q^2}{2 W_e}$.

sau

1. Se pp. o armatura de potential u si cealalta masa (ground, $V = 0$);
2. Se calculeaza campul electric (\vec{D}, \vec{E}) ;
3. Se calculeaza energia acumulata in domeniu $W_e = \int_D \frac{\vec{D} \cdot \vec{E}}{2} dv$;
4. Se calculeaza capacitatea $C = \frac{2 W_e}{u^2}$.

11/21/2022

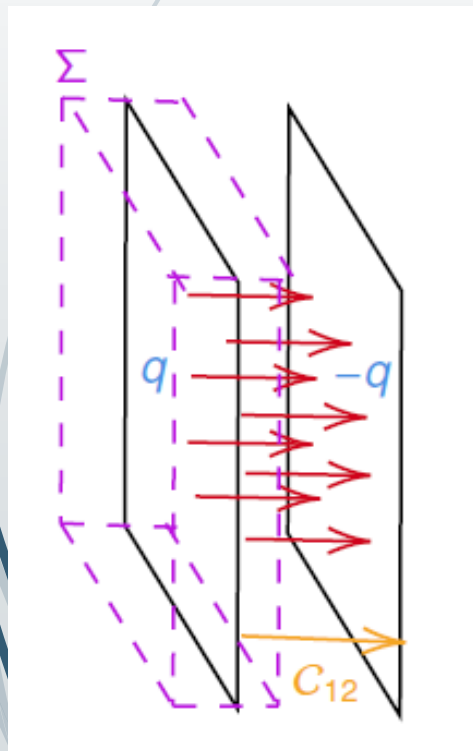
La condensatoarele liniare, rezultatul nu depinde nici de q nici de u , ci doar de geometrie si de material.

1. Teorema condensatorului liniar

1.2. Capacitatea condensatorului plan paralel

Condensator plan paralel

Două armături conductoare, plane, paralele, de arie A , distanța dintre ele fiind $d \ll \sqrt{A}$, sunt separate printr-un dielectric liniar de permitivitate ε .



- ❶ Se presupune condensatorul încărcat, cu q și $-q$ și se determină câmpul electric.

Vom neglija efectele de capăt și vom presupune câmpul uniform.

- ❷ Fie Σ ca în figură și aplicăm LFE:

$$q = \oint_{\Sigma} \vec{D} \cdot d\vec{A} = \int_{S_1} D dA = DA$$

\Rightarrow

$$D = \frac{q}{A} \Rightarrow E = \frac{q}{\varepsilon A}$$

- ❸ Se calculează tensiunea dintre armături

$$u = \int_{C_{12}} \vec{E} \cdot d\vec{l} = \int_{C_{12}} E dl = Ed = \frac{qd}{\varepsilon A}$$

- ❹ Se calculează capacitatea $C = \frac{q}{u} \Rightarrow$

$$C = \frac{\varepsilon A}{d}$$

$$W_e = \int_{\Omega} w_e dv = \int_{\Omega} \frac{\vec{D} \cdot \vec{E}}{2} dv =$$

$$= \int_{\Omega} \frac{D^2}{2\varepsilon} dv = \frac{D^2}{2\varepsilon} Ad = \frac{q^2}{2\varepsilon A} d =$$

$$= \frac{q^2}{2C} = \frac{qu}{2} = \frac{Cu^2}{2}$$

In expresia energiei, formulele cu rosu sunt generale, pentru orice fel de condensator liniar, nu numai pentru cel plan!

1. Teorema condensatorului liniar

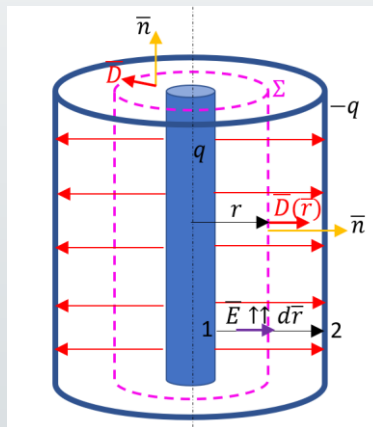
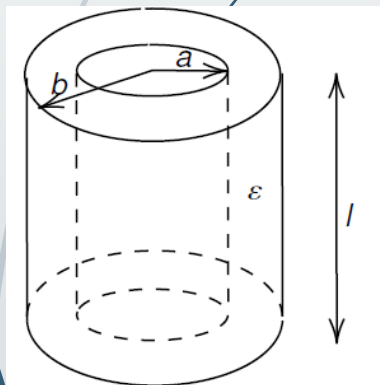
1.3. Capacitatea condensatorului cilindric (cablul coaxial)

Condensator cilindric

Condensator cilindric = două armături conductoare, cilindrice, coaxiale, de lungime l și raze a și b , separate printr-un dielectric liniar de permitivitate ε .

$a, b \ll l \rightarrow$ Campul poate fi presupus radial.

(vedeți și prezentarea P2)



$$C = \frac{2\pi\varepsilon l}{\ln\left(\frac{b}{a}\right)}$$

M, 2022-2023

$$C_l = \frac{2\pi\varepsilon}{\ln\frac{b}{a}}$$

1. Pp. armatura interioara incarcata cu q si cea exterioara cu $-q$.
2. Alegem suprafata Σ ca in figura (cilindru coaxial cu armaturile, de inaltime l . Aplicam LFE:

$$\psi_{\Sigma} = q_{D_{\Sigma}} \rightarrow \oint_{D_{\Sigma}} \vec{D} \cdot d\vec{A} = q_{D_{\Sigma}} \rightarrow D 2\pi r l = q$$

$$\rightarrow D(r) = \frac{q}{2\pi r l} \rightarrow E(r) = \frac{D(r)}{\varepsilon} = \frac{q}{2\pi r l \varepsilon}$$

3. Se calculeaza tensiunea dintre armaturi

$$u = u_{12} = \int_1^2 \vec{E} \cdot d\vec{l} = \int_1^2 \vec{E} \cdot d\vec{r} = \int_a^b E dr$$

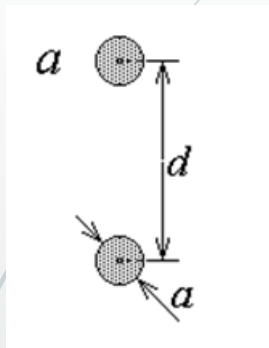
$$\rightarrow u = \int_a^b \frac{q}{2\pi r l \varepsilon} dr = \frac{q}{2\pi l \varepsilon} \int_a^b \frac{1}{r} dr = \frac{q}{2\pi l \varepsilon} \ln \frac{b}{a}$$

4. Se calculeaza capacitatea $C = \frac{q}{u} = 2\pi\varepsilon l / \ln \frac{b}{a}$

Capacitate lineica (pe unitatea de lungime) [F/m] a cablului coaxial

1. Teorema condensatorului liniar

1.4. Capacitatea liniei bifilare



Linia bifilară, formată din două conductoare identice de rază a , paralele la distanța d ($d \gg a$), separate printr-un dielectric de permitivitate ε .

Ideea: se pp condensatorul format încarcat cu q și $-q$, câmpul se determină prin superpoziția a două câmpuri (fiecare calculat cu metoda Gauss), apoi se calculează tensiunea integrând pe un segment care unește cele două conductoare, aflat în planul conductoarelor, perpendicular pe ele.

$$C_l = \frac{\pi \varepsilon}{\ln \frac{d-a}{a}} \approx \frac{\pi \varepsilon}{\ln \frac{d}{a}}$$

Capacitate lineică (pe unitatea de lungime) [F/m] a cablului bifilar.

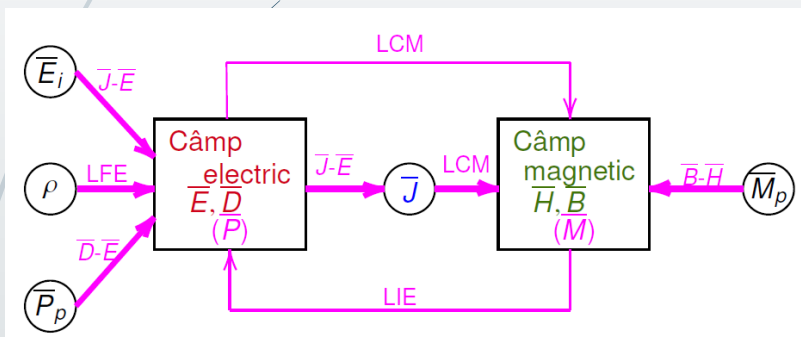
Astfel de calcule analitice se pot face doar pentru configurații simple, în care se poate spune cum este distribuită sarcina (datorită simetriilor sau particularităților geometriei).

1. Teorema condensatorului liniar

1.5. Metoda generala de extragere a C

Se bazeaza pe rezolvarea ecuatiei diferentiale de ordin 2 asociata regimului electrostatic (ES).

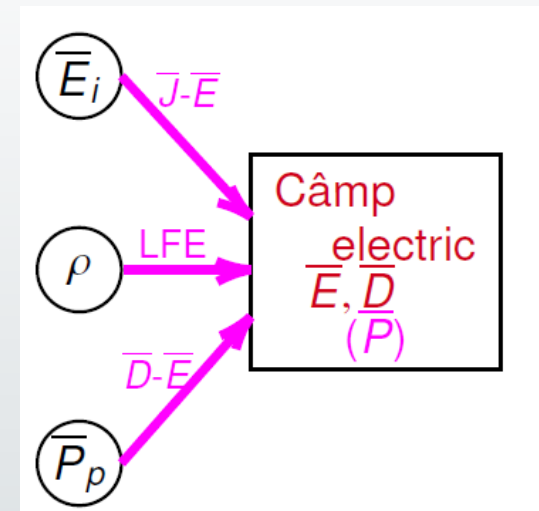
Diagrama cauzala a EM, in regim general variabil.



Ipotezele regimului ES:

- Corpuri imobile
- Marimi invariabile in timp
- Nu exista transformari de energie
- Intereseaza campul electric

$$p = 0$$



Ec. de ord. 1

$$\text{div } \vec{D} = \rho$$

$$\text{rot } \vec{E} = 0$$

$$\vec{D} = \epsilon \vec{E} + \vec{P}_p$$

F3-EM, 2022-2023

$$p = \vec{J} \cdot \vec{E} \Rightarrow \vec{J} = 0 \quad \vec{J} = \sigma(\vec{E} + \vec{E}_i)$$

➡ In izolatoare $\sigma = 0$ campul electric poate avea orice valoare.

➡ In conductoare $\sigma \neq 0$ $\vec{E} + \vec{E}_i = 0$

(teorema conditiei de echilibru electrostatic in conductoare)

Daca $\vec{E}_i = 0$ atunci in conductoare campul electric este nul.

1. Teorema condensatorului liniar

1.5. Metoda generala de extragere a C

Ec. de ord. 2

$$\operatorname{div} \bar{D} = \rho$$

$$\operatorname{rot} \bar{E} = 0 \Rightarrow \exists V \text{ a.i. } \bar{E} = -\operatorname{grad} V$$

$$\bar{D} = \varepsilon \bar{E} + \bar{P}_p$$

V-potential electrostatic (scalar)

(dar pentru unicitate este necesara fixarea unui potential de referinta)

Conductoarele cu $\bar{E}_i = 0$ sunt echipotentiale, linile de camp sunt perpendicular pe ele.

$$\Rightarrow \operatorname{div} (\varepsilon \operatorname{grad} V) = \operatorname{div} (\bar{P}_p) - \rho \quad (\text{Ecuație Poisson generalizata})$$

$$(\text{Ecuație Laplace}) \\ \operatorname{div} (\operatorname{grad} V) = 0$$

In dielectrici liniari, omogeni (ε nu depinde de punct) si cu surse de camp nule

$$\Delta V = 0$$

Pentru buna formulare trebuie impuse conditii pe frontiera domeniului de calcul, in fiecare punct al frontierei. Acestea pot fi de tip Dirichlet (se impune valoarea potentialului) sau de tip Neumann (se impune valoarea derivatei dupa normala).

Excitatie in V

$$\text{aici } \bar{P}_p = 0$$

$$\rho = 0$$

F3-EM, 2022-2023

Rezolvarea ecuatiei Poisson generalizate cu conditii de frontiera

$$\Rightarrow V \Rightarrow \bar{E} = -\operatorname{grad} V \Rightarrow \bar{D} \Rightarrow C$$

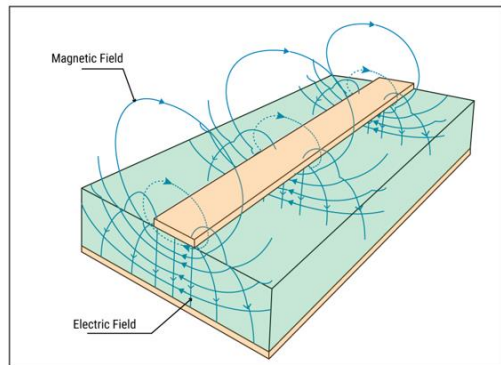
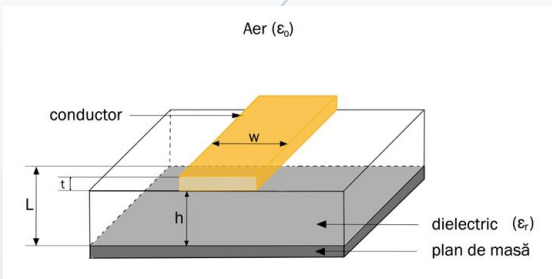
Linier sau energetic

analitic (separarea variabilelor) sau numeric (FEM)

1. Teorema condensatorului liniar

1.5. Metoda generala de extragere a C

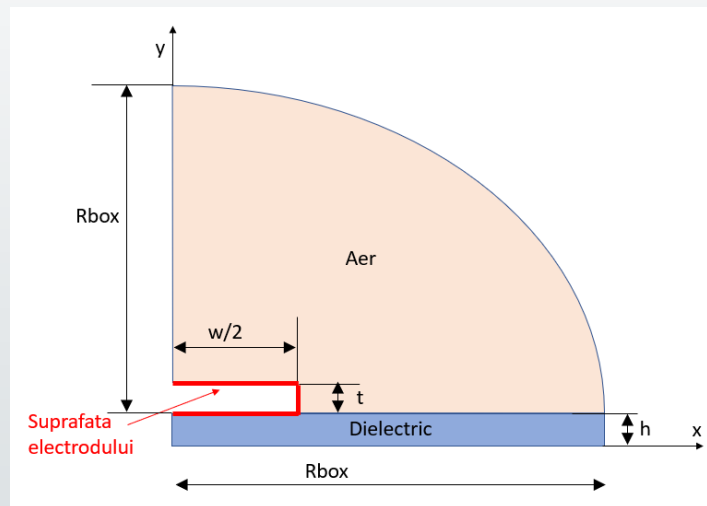
Exemplu – capacitatea lineica a unei linii microstrip



In ES – doar
camp electric!

F3-EM, 2022-2023

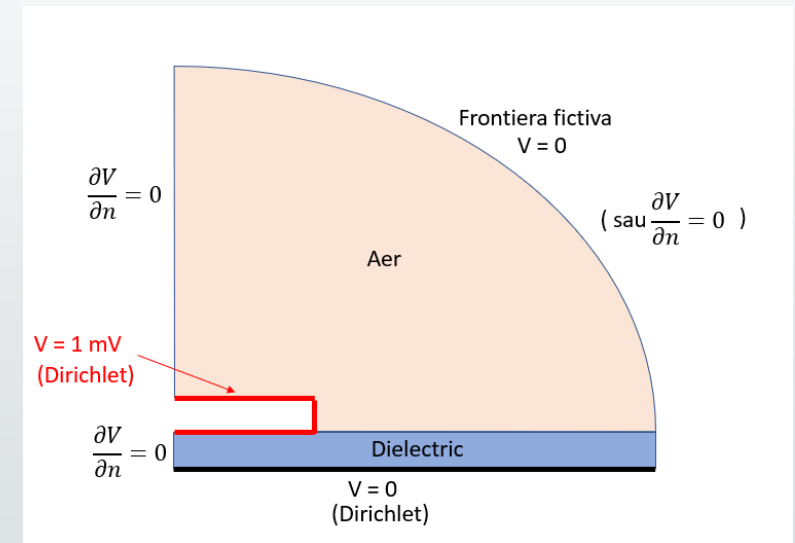
Model 2D, tine cont de simetrie.



Date:

- geometria: t, w, h
- material: ϵ_r

Se cere capacitatea



Nu are importanta ce valoare are potentialul electrodului.

Electrodul nu face parte din model. Suprafata lui face parte din frontiera Dirichlet.

FEM foloseste un domeniu marginit -> frontiera fictiva

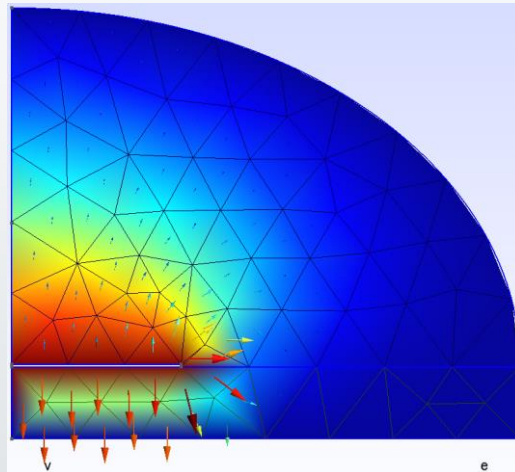
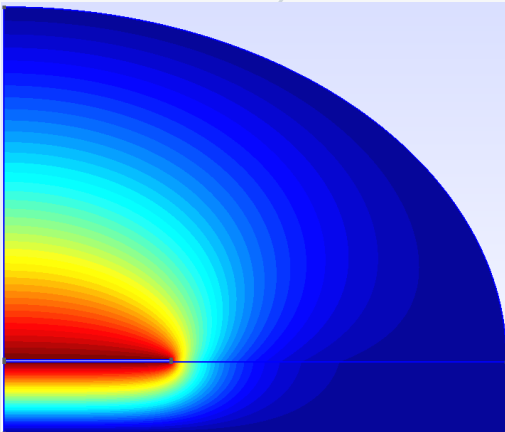
11/21/2022

1. Teorema condensatorului liniar

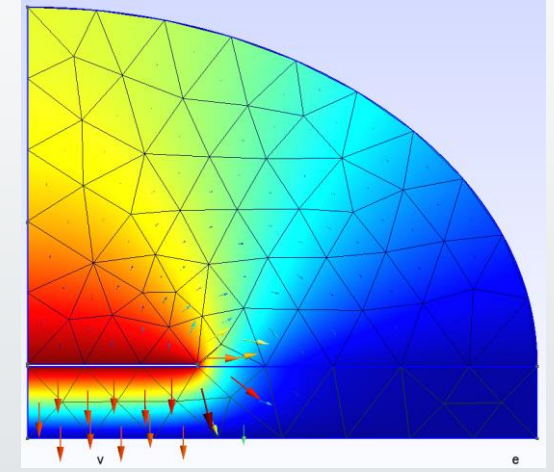
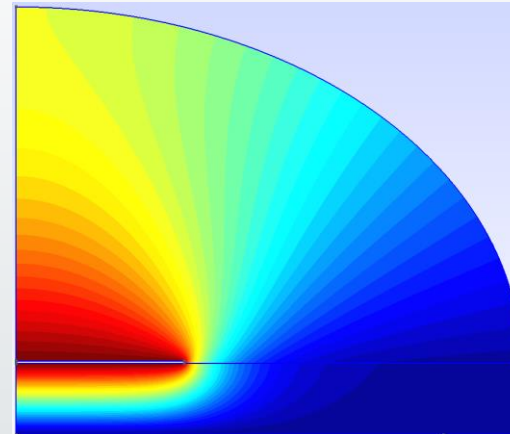
1.5. Metoda generala de extragere a C

Simulari in Onelab <https://onelab.info/> , cu o versiune modificata a acestui exemplu

<https://gitlab.onelab.info/doc/tutorials/-/wikis/Electrostatics-with-floating-potentials>



Aici frontiera fictiva are conditie Dirichlet nula.



Aici frontiera fictiva are conditie Neumann nula.

Aspecte numerice legate de FEM includ:

- Pozitia frontierei fictive
- Tipul de conditii pe aceasta frontiera
- Discretizarea domeniului geometric

FS-EM, 2022-2023

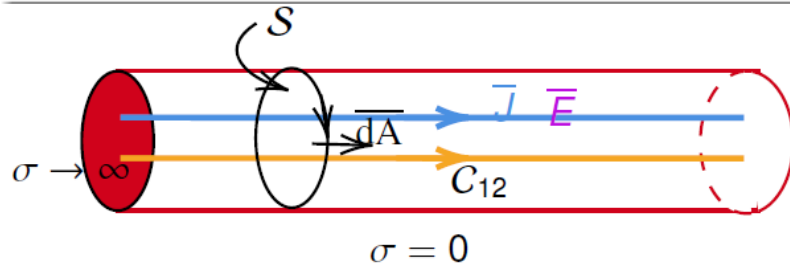
Rbox	24h	12h	6h	3h	1.5h
Cl_Diriclet [F/m]	2.54326e-10	2.54396e-10	2.54297e-10	2.54388e-10	2.54579e-10
Cl_Neumann [F/m]	2.51562e-10	2.51534e-10	2.51254e-10	2.51334e-10	2.51426e-10
Cl_D-Cl_N /Cl_D	0.010867	0.011250	0.011966	0.012005	0.012385
Cl_D-Cl_N /Cl_N	0.010987	0.011378	0.012111	0.012151	0.012540

2. Teorema rezistorului liniar

2.1. Enunt. Extragerea rezistentei.

Rezistor, definiție

Rezistor = dispozitiv alcătuit dintr-un conductor în care curentul poate intra și din care curentul poate ieși prin două părți disjuncte de pe suprafața sa, numite **borne**. Bornele sunt considerate foarte bune conductoare (supraconductoare) astfel încât ele sunt echipotențiale.



Supraconductor: $\sigma \rightarrow \infty \Rightarrow \vec{E} = \vec{0} \Rightarrow V = \text{constant}$
 Izolant perfect: $\sigma = 0 \Rightarrow \vec{J} = \vec{0} \Rightarrow J_n = 0$

- Nu există restricții legate de forma rezistorului sau plasarea lui în spațiu;
- Bornele sunt separate (nu se ating);
- Suprafața conductorului care nu reprezintă bornele se învecinează cu un izolant perfect.

Rezistor liniar

Un rezistor este liniar dacă materialul conductorului este liniar

$$\vec{J} = \sigma \vec{E}$$

Rezistor liniar - mărimi globale

- 1 Intensitatea curentului ce-l străbate $i = \int_S \vec{J} \cdot d\vec{A}$
- 2 Tensiunea dintre borne $u = \int_{C_{12}} \vec{E} \cdot d\vec{l}$

Teorema rezistorului liniar - enunț

Tensiunea electrică la bornele unui rezistor liniar este proporțională cu intensitatea curentului ce-l străbate.

$$u \sim i$$

$$\begin{aligned} \vec{J} &\sim \vec{E} && \text{din liniaritate} \\ i &\sim \vec{J} && \text{din definiția curentului} \\ u &\sim \vec{E} && \text{din definiția tensiunii} \end{aligned}$$

$$\Rightarrow u \sim i$$

2. Teorema rezistorului liniar

2.1. Enunt. Extragerea rezistentei.

Rezistența unui rezistor

$$u = Ri$$

R - rezistența rezistorului [Ω]

Obs:

- 1 R ar putea fi definită ca $R \stackrel{\text{def}}{=} \frac{u}{i}$ dar la rezistoarele liniare acest raport nu depinde nici de u , nici de i ;
- 2 Se definește $G = 1/R$ - conductanța rezistorului liniar; unitatea de măsură G [S].
- 3 La rezistoarele neliniare $R(i)$ sau $G(u)$;
- 4 La rezistoarele liniare R depinde de datele geometrice (dimensiunile și forma conductorului, poziția bornelor) și de materialul conductorului;
- 5 $R > 0$ este un parametru al rezistorului care descrie rezistența întâmpinată de curent la trecerea lui prin dispozitiv.
- 6 Teorema rezistorului liniar poate fi privită ca o formă globală a legii de material $\vec{J} - \vec{E}$, iar conductanța G poate fi privită ca un parametru global asociat conductivității σ .

Se demonstrează ca puterea transferată unui rezistor liniar este

$$P = \int_D \vec{J} \cdot \vec{E} dv = ui = Ri^2 = Gu^2 = \frac{i^2}{G} = \frac{u^2}{R}$$

Problema determinării rezistenței unui rezistor liniar:

Date:

- Geometrice (forma, dimensiunile)
- De material (conductivitatea în fiecare punct din conductor)

Se cere:

- Expresia rezistenței sau conductanței.

2. Teorema rezistorului liniar

2.1. Enunt. Extragerea rezistentei.

Ideea:

Problema extragerii R se reduce la calculul campului electrocinetic.

Se presupune rezistorul in stare electrocinetica, se calculeaza campul, apoi se calculeaza rezistenta (sau conductanta).

Metoda liniara

1. Se pp. rezistorul strabatut de curentul i ;
2. Se calculeaza campul electrocinetic (\vec{J}, \vec{E}) ;
3. Se calculeaza tensiunea dintre armaturi $u = \int_1^2 \vec{E} \cdot d\vec{l}$;
4. Se calculeaza conductanta $G = \frac{i}{u}$ sau rezistenta $R = \frac{u}{i}$.

SAU

1. Se pp. o borna de potential u si cealalta masa (ground, $V = 0$);
2. Se calculeaza campul electrocinetic (\vec{J}, \vec{E}) ;
3. Se calculeaza intensitatea curentului $i = \int_S \vec{J} \cdot d\vec{A}$ printr-o sectiune transversala orientata in aceeaasi directie ca tensiunea u ;
4. Se calculeaza conductanta $G = \frac{i}{u}$ sau rezistenta $R = \frac{u}{i}$.

Metoda energetica

1. Se pp. rezistorul strabatut de curentul i ;
2. Se calculeaza campul electrocinetic (\vec{J}, \vec{E}) ;
3. Se calculeaza puterea transferata domeniului $P = \int_D \vec{J} \cdot \vec{E} dv$;
4. Se calculeaza conductanta $G = \frac{i^2}{P}$.

SAU

1. Se pp. o borna de potential u si cealalta masa (ground, $V = 0$);
2. Se calculeaza campul electrocinetic (\vec{J}, \vec{E}) ;
3. Se calculeaza puterea transferata domeniului $P = \int_D \vec{J} \cdot \vec{E} dv$;
4. Se calculeaza conductanta $G = \frac{P}{u^2}$.

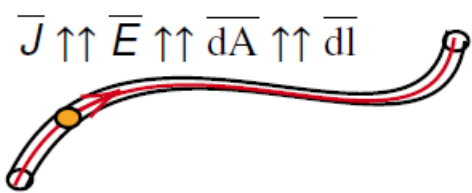
2. Teorema rezistorului liniar

2.2. Rezistența unui conductor cu camp uniform

Rezistor filiform liniar

Rezistorul filiform liniar este un rezistor care are diametrul mult mai mic decât lungimea lui, iar materialul conductorului este liniar.

- *Geometria* este descrisă de curba sa mediană și de felul în care variază aria secțiunii transversale $A(\vec{r})$ de-a lungul curbei mediane.
- *Materialul*: $\vec{J} = \sigma \vec{E}$



$$\begin{aligned}
 u &= \int_{C_{12}} \vec{E} \cdot d\vec{l} = \int_{C_{12}} \frac{\vec{J}}{\sigma} \cdot d\vec{l} = \int_{C_{12}} \frac{J dl}{\sigma} \\
 i &= \int_S \vec{J} \cdot d\vec{A} = \int_S J dA = J(\vec{r}) A(\vec{r}) \\
 u &= \int_{C_{12}} \frac{J dl}{\sigma} = \int_{C_{12}} \frac{i dl}{\sigma A} = i \int_{C_{12}} \frac{dl}{\sigma A} \\
 R &= \int_{C_{12}} \frac{dl}{\sigma A}
 \end{aligned}$$

Dacă firul este omogen (același material și aceeași secțiune de-a lungul curbei mediane):

$$R = \frac{l}{\sigma A} \Rightarrow G = \frac{\sigma A}{l}$$

Formula este valabilă și pentru conductoare liniare nefiliforme dar care au câmpul uniform.

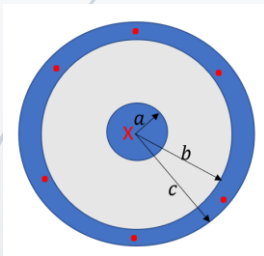
Puterea disipată de un rezistor liniar

$$\begin{aligned}
 P &= \int_{\Omega} \vec{J} \cdot \vec{E} dv = \int_{C_{12}} \vec{J} \cdot \vec{E} A dl = i \int_{C_{12}} \vec{E} dl = ui \\
 P &= Ri^2 \geq 0
 \end{aligned}$$

2. Teorema rezistorului liniar

2.3. Rezistența cablului coaxial

În c.c. – curentul se distribuie uniform în conductoare.



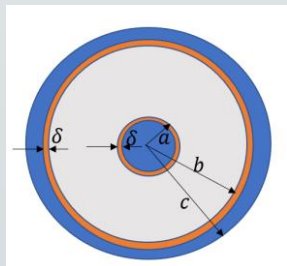
$$R = R_{\text{int}} + R_{\text{ext}} = \frac{l}{\sigma \pi a^2} + \frac{l}{\sigma (\pi c^2 - \pi b^2)} = \frac{l}{\sigma \pi} \left(\frac{1}{a^2} + \frac{1}{c^2 - b^2} \right)$$

$$R_{l,cc} = \frac{1}{\sigma \pi} \left(\frac{1}{a^2} + \frac{1}{c^2 - b^2} \right) \quad \left[\frac{\Omega}{\text{m}} \right] \quad \text{Rezistența lineică, de c.c., a unui cablu coaxial.}$$

În c.a., la frecvențe mari, apare un efect pelicular pronunțat (curs C5).

Curentul se poate considera distribuit uniform dar numai la suprafața conductorului, acolo unde

patrunde câmpul, pe distanța $\delta = \sqrt{\frac{2}{\omega \mu \sigma}}$ numită adâncime de patrundere.

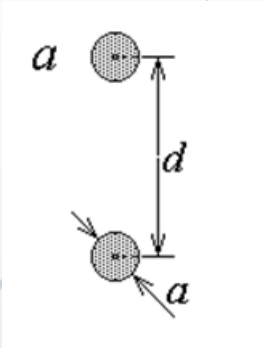


$$R = R_{\text{int}} + R_{\text{ext}} = \frac{l}{\sigma 2\pi a \delta} + \frac{l}{\sigma 2\pi b \delta} = \frac{l}{\sigma 2\pi \delta} \left(\frac{1}{a} + \frac{1}{b} \right)$$

$$R_{l,ca-pp} = \frac{1}{\sigma 2\pi \delta} \left(\frac{1}{a} + \frac{1}{b} \right) \quad \left[\frac{\Omega}{\text{m}} \right] \quad \text{Rezistența lineică, de c.a., a unui cablu coaxial, în cazul unui efect pelicular pronunțat.}$$

2. Teorema rezistorului liniar

2.4. Rezistența liniei bifilare



Linia bifilară, formată din două conductoare identice de rază a , paralele la distanța d ($d \gg a$), separate printr-un dielectric de permitivitate ε .

$$R_{l,cc} = \frac{2}{\sigma \pi a^2}$$

Rezistența lineică, de c.c., a cablului bifilar.

$$R_{l,ca-pp} = \frac{1}{\sigma \pi a \delta}$$

Rezistența lineică, de c.a., a unui cablu bifilar, în cazul unui efect pelicular pronunțat.

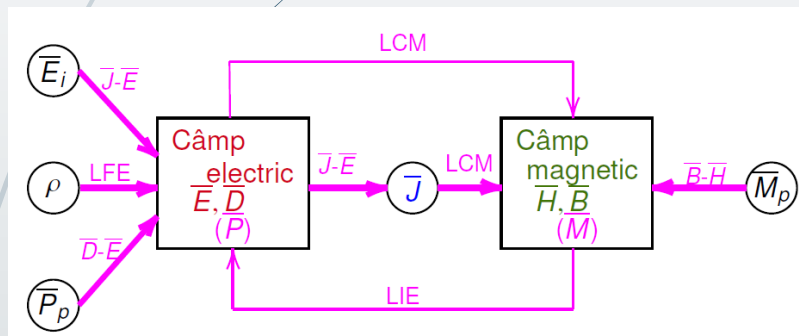
Astfel de calcule analitice se pot face doar pentru configurații simple, în care se poate spune cum este distribuit curentul (datorită simetriilor sau particularităților geometriei).

2. Teorema rezistorului liniar

2.5. Metoda generala de extragere a G (R)

Se bazeaza pe rezolvarea ecuatiei diferentiale de ordin 2 asociata regimului electrocinetic (EC).

Diagrama cauzala a EM, in regim general variabil.



Ec. de ord. 1

$$\text{div } \vec{J} = 0$$

$$\text{rot } \vec{E} = 0$$

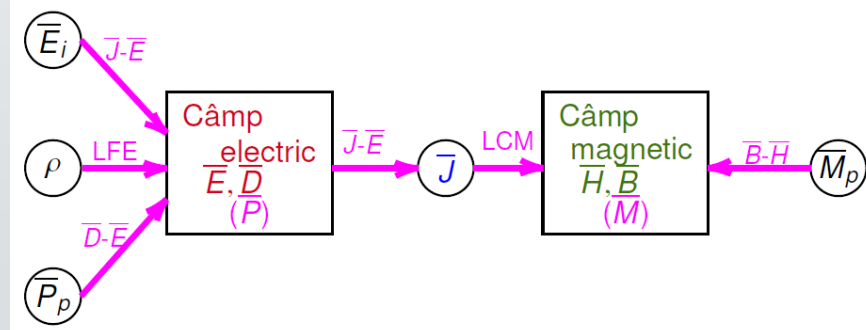
$$\vec{J} = \sigma(\vec{E} + \vec{E}_i)$$

F3-EM, 2022-2023

Ipotezele regimului EC:

- Corpuri imobile
- Marimi invariabile in timp
- Pot exista transformari de energie
- Intereseaza distributia curentului electric in conductoare masive.

Regimul staționar: electrocinetic \Rightarrow magnetic staționar



2. Teorema rezistorului liniar

2.5. Metoda generala de extragere a G (R)

Ec. de ord. 2

$$\operatorname{div} \bar{J} = 0$$

$$\operatorname{rot} \bar{E} = 0 \Rightarrow \exists V \text{ a.i. } \bar{E} = -\operatorname{grad} V$$

$$\bar{J} = \sigma(\bar{E} + \bar{E}_i)$$

V -potential electrocinetic (scalar)

(dar pentru unicitate este necesara fixarea unui potential de referinta)

$$\Rightarrow \boxed{\operatorname{div} (\sigma \operatorname{grad} V) = \operatorname{div} (\sigma \bar{E}_i)} \quad (\text{Ecuație Poisson generalizată})$$

Pentru buna formulare trebuie impuse conditii pe frontiera domeniului de calcul, in fiecare punct al frontierei. Acestea pot fi de tip Dirichlet (se impune valoarea potentialului) sau de tip Neumann (se impune valoarea derivatei dupa normala).

Excitatie \Rightarrow Rezolvarea ecuatiei
in V Poisson generalizate cu
aici $\bar{E}_i = 0$ conditii de frontiera

$$\Rightarrow V \Rightarrow \bar{E} = -\operatorname{grad} V \Rightarrow \bar{J} \Rightarrow G$$

Liniar sau energetic

analitic (separarea variabilelor) sau numeric (FEM)

2. Teorema rezistorului liniar

2.6. Similitudinea ES-EC

EC seamana cu ES daca nu exista densitate de sarcina.

ES ($\rho = 0$)	EC
$\text{div } \bar{D} = \rho$	$\text{div } \bar{J} = 0$
$\text{rot } \bar{E} = 0$	$\text{rot } \bar{E} = 0$
$\bar{D} = \varepsilon \bar{E} + \bar{P}_p$	$\bar{J} = \sigma(\bar{E} + \bar{E}_i)$
$\bar{E} = -\text{grad } V$	$\bar{E} = -\text{grad } V$
$\text{div } (\varepsilon \text{ grad } V) = \text{div } (\bar{P}_p)$	$\text{div } (\sigma \text{ grad } V) = \text{div } (\sigma \bar{E}_i)$

ES ($\rho = 0$)	EC
\bar{D}	\bar{J}
\bar{E}	\bar{E}
ε	σ
\bar{P}_p	$\sigma \bar{E}_i = \bar{J}_i$
V	V
u	u
ψ, q	i
C	$G = \frac{1}{R}$

2. Teorema rezistorului liniar

2.6. Conductanta de pierderi a unui cablu coaxial.

Similitudinea C-G permite calculul rezistenței întâmpinate de trecerea curentului electric printr-un conductor masiv.

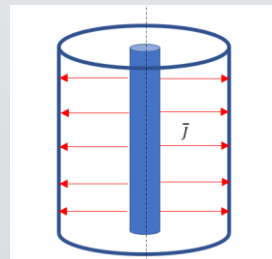
1. Se considera configurația electrostatică similară;
2. Se calculează capacitatea C a acestei configurații;
3. Se calculează R (înlocuind ε cu σ și inversând C).

$$R = \frac{1}{C} \Big|_{\varepsilon \rightarrow \sigma}$$

Exemple:

1) Condensatorul plan paralel: $C = \frac{\varepsilon A}{d}$ \rightarrow Rezistența unui fir: $R = \frac{1}{C} \Big|_{\varepsilon \rightarrow \sigma} = \frac{d}{\sigma A}$

2) Capacitatea lineică cablului coaxial \rightarrow Conductanța lineică de pierderi



$$C_l = \frac{2 \pi \varepsilon}{\ln \frac{b}{a}}$$

$$G_l = C_l \Big|_{\varepsilon \rightarrow \sigma} = \frac{2 \pi \sigma_d}{\ln \frac{b}{a}}$$

σ_d - conductivitatea dielectricului (pierderi)

Atentie!

La linii G descrie conductanța transversală de pierderi și este diferită de $1/R$, R descriind rezistența longitudinală a conductorului!

3. Teorema bobinei liniare

3.1. Enunt. Extragerea inductivitatii.

Bobina, definiție

Bobina = dispozitiv alcătuit dintr-un conductor înfășurat în aer sau în jurul unui material magnetic.



- Nu există restricții legate de formă și plasare în spațiu.

Bobina liniară

O bobină este liniară dacă miezul pe care este înfășurată este liniar $\vec{B} = \mu \vec{H}$

Bobina liniară - mărimi globale

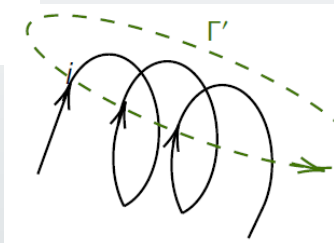
- 1) Fluxul total al bobinei $\varphi = \int_{S_\Gamma} \vec{B} \cdot d\vec{A}$
 Γ este o curbă închisă care urmărește firul bobinei și se închide pe la borne. Dacă această suprafață deschisă se descompune în suprafețe deschise elementare, fiecare fiind mărginită de câte o spirală, atunci

$$\varphi = \sum_{k=1}^{nr.sp.} \int_{S_k} \vec{B} \cdot d\vec{A} = \sum_{k=1}^{nr.sp.} \varphi_k$$

φ_k se numește **flux fascicular**. Dacă spirele sunt identice și sunt plasate la fel în câmp atunci $\varphi = N\varphi_k$.

- 2) Curentul prin bobină i .
 Conform T. Ampere pe curba Γ'

$$Ni = \int_{\Gamma'} \vec{H} \cdot d\vec{l}$$



Teorema bobinei liniare - enunț

Fluxul magnetic total al unei bobine liniare este proporțional cu intensitatea curentului ce o străbate. $\varphi \sim i$

$$\begin{aligned} \vec{B} &\sim \vec{H} && \text{din liniaritate} \\ \varphi &\sim \vec{B} && \text{din definiția fluxului} \\ i &\sim \vec{H} && \text{din teorema lui Ampère} \end{aligned}$$

$$\Rightarrow \varphi \sim i$$

3. Teorema bobinei liniare

3.1. Enunt. Extragerea inductivitatii.

Se demonstreaza ca energia magnetica acumulata intr-o bobina liniara este

Inductivitatea unei bobine

$$\varphi = Li$$

L - inductivitatea bobinei [H]

$$W_m = \int_D \frac{\vec{B} \cdot \vec{H}}{2} dv = \frac{\varphi i}{2} = \frac{Li^2}{2} = \frac{\varphi^2}{2L}$$

Obs:

- 1 L ar putea fi definită ca $L \stackrel{\text{def}}{=} \frac{\varphi}{i}$ dar la bobinele liniare acest raport nu depinde nici de φ nici de i ;
- 2 La bobinele neliniare $L(i)$;
- 3 La bobinele liniare L depinde de datele geometrice (dimensiunile și forma conductorului) și de materialul miezului magnetic;
- 4 $L > 0$ este un parametru al bobinei care descrie capacitatea sa de a produce flux (câmp) magnetic.
- 5 Teorema bobinei liniare poate fi privită ca o formă globală a legii de material $\vec{B} - \vec{H}$, iar inductivitatea L poate fi privită ca un parametru global asociat permeabilității μ .

Problema determinării inductivității unei bobine liniare:

Date:

- Geometrice (forma, dimensiunile)
- De material (permeabilitatea în fiecare punct din materialul magnetic)

Se cere:

- Expresia inductivității.

3. Teorema bobinei liniare

3.1. Enunt. Extragerea inductivitatii.

Ideea:

Problema extragerii L se reduce la calculul campului magnetic.

Se presupune bobina strabatuta de curent, se calculeaza campul magnetic, apoi se calculeaza inductivitatea.

Metoda liniara

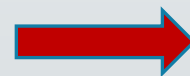
1. Se pp. bobina strabatuta de curentul i ;
2. Se calculeaza campul magneticeic (\vec{B}, \vec{H}) ;
3. Se calculeaza fluxul magnetic $\varphi = \int_{S_r} \vec{B} \cdot d\vec{A}$
4. Se calculeaza inductivitatea $L = \frac{\varphi}{i}$.

Se poate aplica pentru bobinele filiforme.

Curba Γ urmareste curba mediana a firului si se inchide pe la borne. Metoda liniara nu se poate aplica pentru bobinele care au conductoare masive (de exemplu cablul coaxial).

Metoda energetica

1. Se pp. bobina strabatuta de curentul i ;
2. Se calculeaza campul magneticeic (\vec{B}, \vec{H}) ;
3. Se calculeaza energia acumulata in domeniu $W_m = \int_D \frac{\vec{B} \cdot \vec{H}}{2} dv$;
4. Se calculeaza capacitatea $L = \frac{2 W_m}{i^2}$.



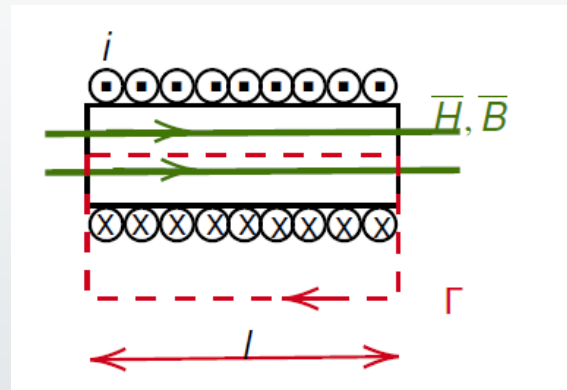
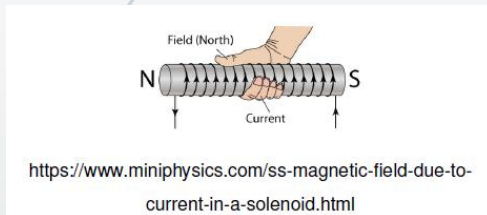
Metoda energetica este foarte importanta.

La bobinele liniare, rezultatul nu depinde nici de φ nici de i , ci doar de geometrie si de material.

3. Teorema bobinei liniare

3.2. Inductivitatea unui solenoid

Sa consideram solenoid infinit extins, bobinat strâns, într-un singur strat, cu n spire pe unitatea de lungime.



$$W_m = \int_{\Omega} \frac{\vec{B} \cdot \vec{H}}{2} = \frac{\mu H^2}{2} Al = \frac{\mu}{2} \frac{N^2 i^2}{l^2} Al = \frac{Li^2}{2}$$

$$W_m = \frac{Li^2}{2} = \frac{\varphi i}{2} = \frac{\varphi^2}{2L} \quad (\text{Relatii generale})$$

T. Ampere:

$$u_{m_{\Gamma}} = i_{S_{\Gamma}} \Rightarrow \oint_{\Gamma} \vec{H} \cdot d\vec{l} = i_{S_{\Gamma}} \Rightarrow Hl = Ni \Rightarrow H = ni$$

$$\varphi = N\varphi_k = NBA = N\mu HA = N\mu A \frac{Ni}{l} = \frac{\mu N^2 Ai}{l} = \mu n^2 Al i$$

$$L = \frac{\mu N^2 A}{l} = \mu n^2 Al$$

Inductivitatea este proportionala cu patratul numarului de spire (rezultat general).

$$L = \frac{N^2}{R_m}$$

R_m Reluctanta magnetica $\left[\frac{1}{H}\right]$

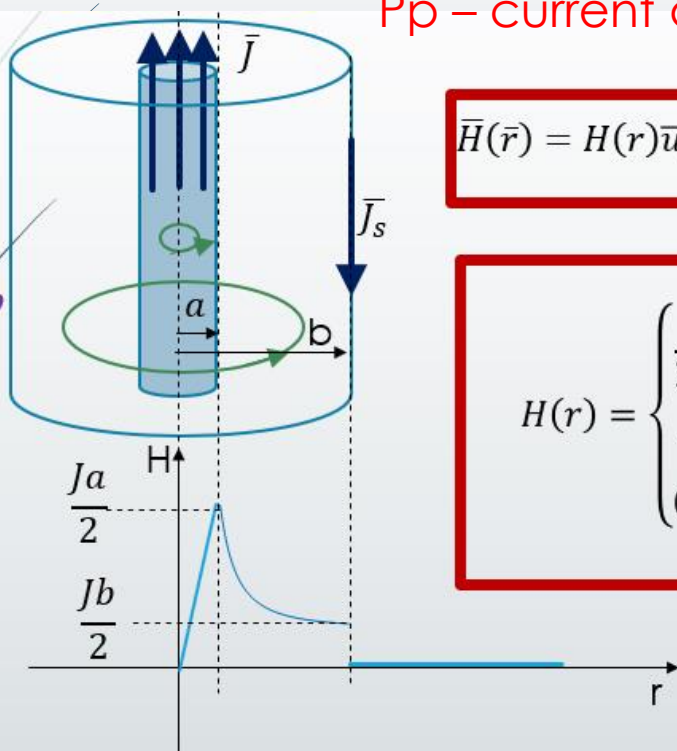
3. Teorema bobinei liniare

3.3. Inductivitatea unui cablu coaxial

Nu se poate calcula cu metoda liniara. Este obligatorie folosirea metodei energetice. Mai intai vom calcula campul magnetic produs de un curent I care trece prin cablu (se "duce" prin conductorul central si se "intoarce" prin manta). Vedeti prezentarea P2 pentru detalii.

Pp – current distribuit uniform!

Se da: J, J_s
Raza a, b
unde
 $J \pi a^2 = J_s 2 \pi b$
Se cere:
vectorul
intensitatii
campului
magnetic



$$\vec{H}(\vec{r}) = H(r) \vec{u}_\phi$$

$$H(r) = \begin{cases} \frac{i r}{2 \pi a^2}, & r \in [0, a) \\ \frac{i}{2 \pi r}, & r \in [a, b) \\ 0, & r \in (b, \infty) \end{cases}$$

Notam l – lungimea cablului

$$\begin{aligned} W_m &= \int_D \frac{\vec{B} \cdot \vec{H}}{2} dv = \frac{\mu_0}{2} \int_D H^2 dv = \\ &= \underbrace{\frac{\mu_0}{2} \int_0^a H^2 2\pi r l dr}_{W_{m,int}} + \underbrace{\frac{\mu_0}{2} \int_a^b H^2 2\pi r l dr}_{W_{m,ext}} \end{aligned}$$

$$L = \frac{2 W_m}{i^2} = \frac{2(W_{m,int} + W_{m,ext})}{i^2} = L_{int} + L_{ext}$$

3. Teorema bobinei liniare

3.3. Inductivitatea unui cablu coaxial

$$W_{m,ext} = \frac{\mu_0}{2} \int_a^b H^2 2\pi r l dr = \frac{\mu_0}{2} \int_a^b \frac{i^2}{4\pi^2 r^2} 2\pi r l dr = \frac{\mu_0 i^2 l}{4\pi} \ln \frac{b}{a} \rightarrow L_{ext} = \frac{2 W_{m,ext}}{i^2} = \frac{\mu_0 l}{2\pi} \ln \frac{b}{a}$$

$$L_{l,ext} = \frac{L_{ext}}{l}$$

$$L_{l,ext} = \frac{\mu_0}{2\pi} \ln \frac{b}{a}$$

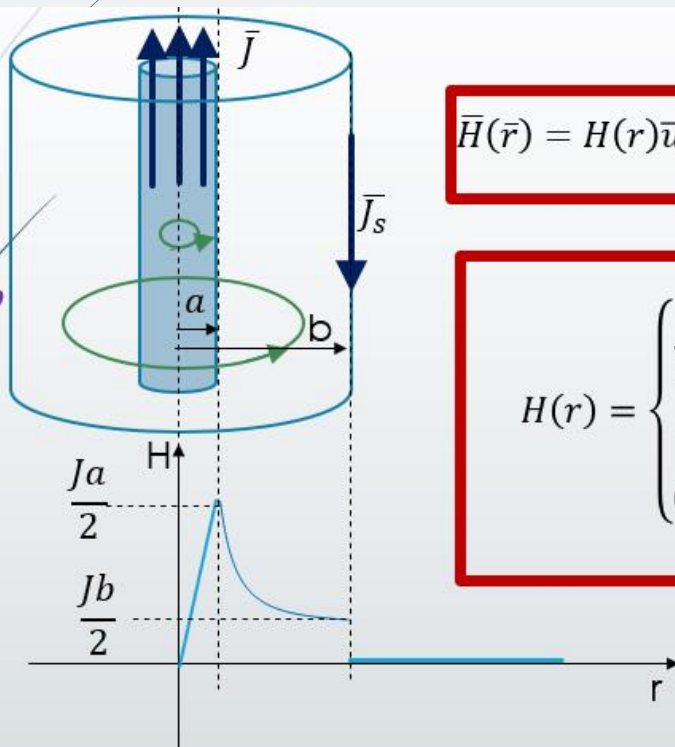
Pp – current distribuit uniform!

$$W_{m,int} = \frac{\mu_0}{2} \int_0^a H^2 2\pi r l dr = \frac{\mu_0}{2} \int_0^a \frac{i^2 r^2}{4\pi^2 a^4} 2\pi r l dr = \frac{\mu_0 i^2 l}{16\pi}$$

$$L_{l,int} = \frac{\mu_0}{8\pi}$$



Se da: J, J_s
Raza a, b
unde
 $J \pi a^2 = J_s 2\pi b$
Se cere:
vectorul
intensitatii
câmpului
magnetic



$$\vec{H}(\vec{r}) = H(r) \vec{u}_\phi$$

$$H(r) = \begin{cases} \frac{i r}{2\pi a^2}, & r \in [0, a) \\ \frac{i}{2\pi r}, & r \in [a, b) \\ 0, & r \in (b, \infty) \end{cases}$$

3. Teorema bobinei liniare

3.3. Inductivitatea unui cablu coaxial

La frecvente inalte, cand apare efect pelicular pronuntat

$$L_l = L_{l,int} + L_{l,ext} \approx L_{l,ext} = \frac{\mu_d}{2\pi} \ln \frac{b}{a} \quad \text{Unde } \mu_d \text{ este permeabilitatea dielectricului}$$

Reamintim

$$C_l = \frac{2\pi\epsilon_d}{\ln \frac{b}{a}} \quad \text{Unde } \epsilon_d \text{ este permitivitatea dielectricului}$$

$$G_l = \frac{2\pi\sigma_d}{\ln \frac{b}{a}} \quad \text{Unde } \sigma_d \text{ este conductivitatea dielectricului}$$

Permeanta
geometrica a
cablului coaxial.

$$P = \frac{2\pi}{\ln \frac{b}{a}}$$

La frecvente inalte, cu dielectric omogen

$$\frac{C_l}{\epsilon_d} = \frac{G_l}{\sigma_d} = \frac{\mu_d}{L_l} \triangleq P$$

P - permeanta geometrica = marime adimensionala care depinde de forma dimensiunii transversale.

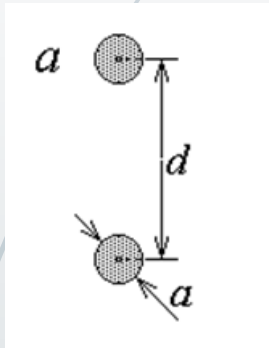
Pentru determinarea permeantei geometrice este suficienta rezolvarea analitica sau numerica a unei singure probleme de camp (ecuatia Laplace 2D satisfacuta de V in regim ES, pentru extragerea celor trei parametri lineici.

3. Teorema bobinei liniare

3.4. Inductivitatea liniei bifilare

Inductivitatea exterioara se poate calcula cu formula liniara.

Inductivitatea interioara nu se poate calcula decat cu metoda energetica.



Linia bifilară, formată din două conductoare identice de rază a , paralele la distanța d ($d \gg a$), plasate într-un mediu cu permeabilitatea μ_d . Conductoarele au permeabilitatea μ_c .

$$L_l = L_{l,ext} + L_{l,int}$$

Inductivitatea lineica exterioara.

$$L_{l,ext} = \frac{\mu_d}{\pi} \ln \frac{d}{a}$$

Inductivitatea lineica interioara, in cazul unei distributii uniforme de curent.

$$L_{l,int-cc} = \frac{\mu_c}{4\pi}$$

Inductivitatea lineica interioara, in cazul unui efect pelicular pronuntat ($\delta \ll a$).

$$L_{l,int-ca,pp} = \frac{\mu_c \delta}{\pi a}$$

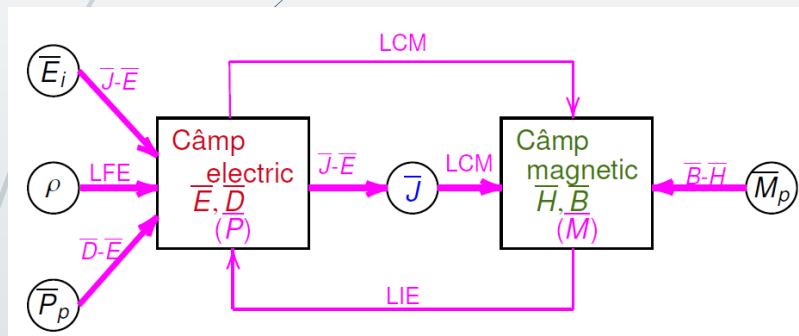
$$\delta = \sqrt{\frac{2}{\omega \mu \sigma}}$$

3. Teorema bobinei liniare

3.5. Metoda generala de extragere a L

Se bazeaza pe rezolvarea ecuatiei diferentiale de ordin 2 asociata regimului magnetic stationar (MG).

Diagrama cauzala a EM, in regim general variabil.



Ec. de ord. 1

$$\operatorname{div} \bar{B} = 0$$

$$\operatorname{rot} \bar{H} = \bar{J}$$

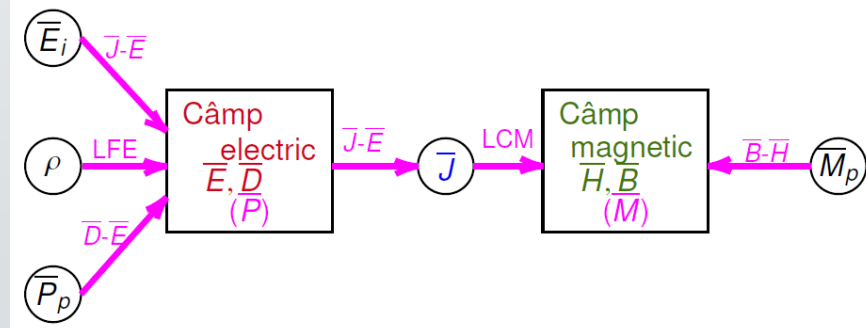
$$\bar{B} = \mu \bar{H} + \mu_0 \bar{M}_p$$

FS-EM, 2022-2023

Ipotezele regimului MG:

- Corpuri imobile
- Marimi invariabile in timp
- Pot exista transformari de energie
- Intereseaza campul magnetic produs de distributii de current cunoscute

Regimul staționar: electrocinetic \Rightarrow magnetic staționar



3. Teorema bobinei liniare

3.5. Metoda generala de extragere a L

Ec. de ord. 2

$$\operatorname{div} \bar{B} = 0 \Rightarrow \exists \bar{A} \text{ a.i. } \bar{B} = -\operatorname{rot} \bar{A}$$

$$\operatorname{rot} \bar{H} = \bar{J}$$

$$\bar{B} = \mu \bar{H} + \mu_0 \bar{M}_p$$

\bar{A} -potential magnetic vector

(Pentru unicitate este necesara impunerea unei conditii suplimentare pentru $\operatorname{div} \bar{A}$ numita

“conditie de etalonare”. De cele mai multe ori $\operatorname{div} \bar{A} = 0$ - Conditie de etalonare Coulomb)



$$\operatorname{rot} (\mu^{-1} \operatorname{rot} \bar{A}) = \bar{J} + \operatorname{rot} (\mu^{-1} \mu_0 \bar{M}_p)$$

Pentru buna formulare trebuie impuse conditii pe frontiera domeniului de calcul, in fiecare punct al frontierei. Acestea pot fi de tip Dirichlet (se impune valoarea componentei tangentiale a potentialului, corespunde unui B_n) sau de tip Neumann (componenta tangentiala a rotorului potentialului magnetic vector, corespunde lui \bar{H}_t)

Excitatie
in curent

aici $\bar{M}_p = 0$



Rezolvarea ecuatiei
diferentiale



\bar{A}



$\bar{B} = -\operatorname{rot} \bar{A}$



\bar{H}



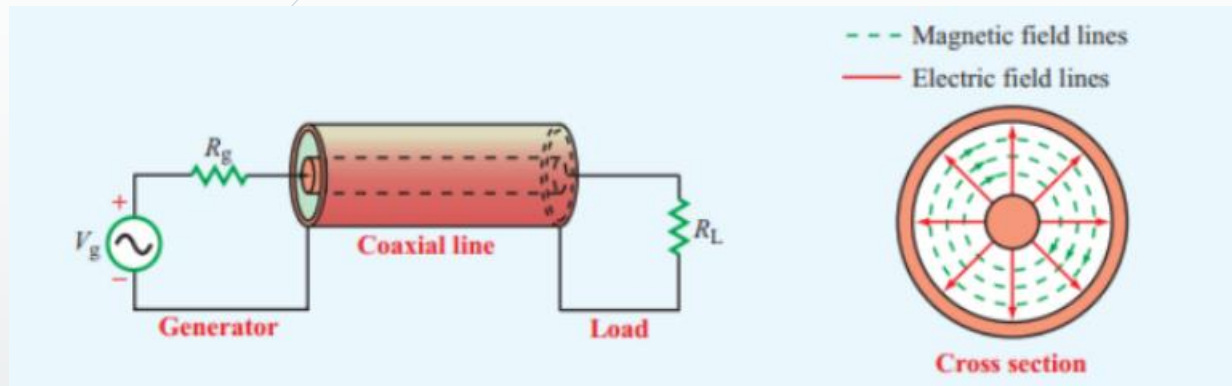
L

Liniar sau energetic

analitic (separarea variabilelor) sau numeric (FEM)

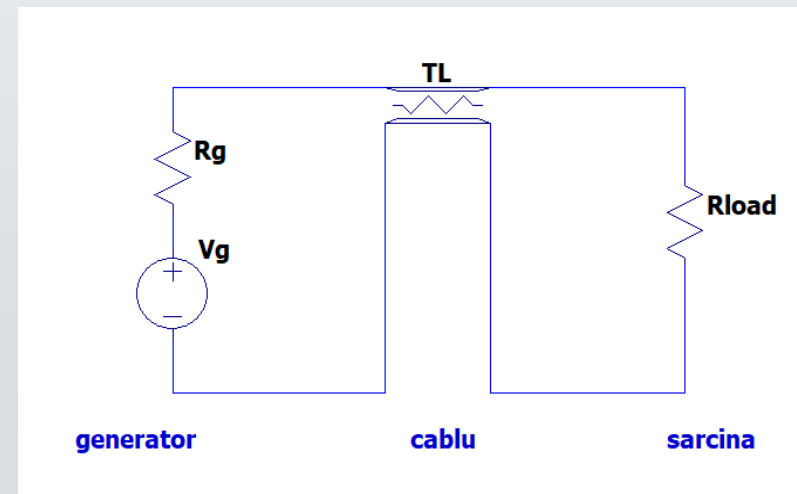
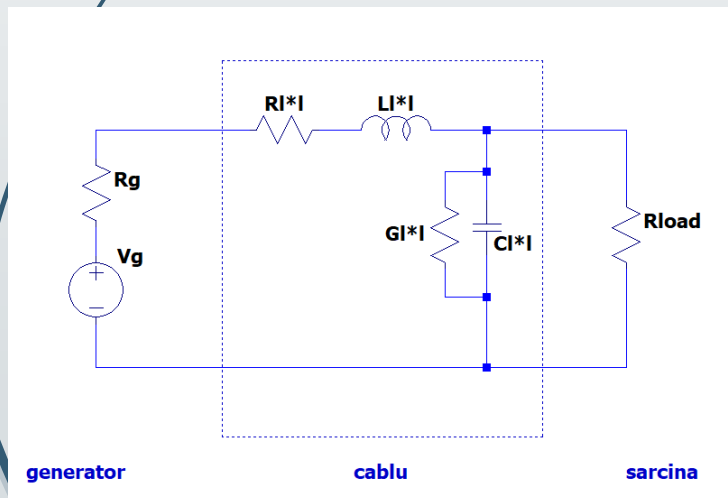
4. Modelarea unui cablu coaxial

4.1. Modele de circuit cu parametri concentrati



PP – generatorul are un semnal de frecventa mica/

Vom simula acest circuit in LTSpice.
Pentru referinta vom folosi o linie de transmisie.



(detalii in C4,
aici doar
referinta)

4. Modelarea unui cablu coaxial

4.1. Modele de circuit cu parametri concentrati

Modelarea inseamna mai intai extragerea parametrilor concentrati. Formule analitice ca cele prezentate in sectiunile 1,2,3 sunt disponibile si in calculatoare online, de exemplu la

https://cecas.clemson.edu/cvel/emc/calculators/TL_Calculator/index.html

CVEL ELECTROMAGNETIC COMPATIBILITY
THE CLEMSON UNIVERSITY VEHICULAR ELECTRONICS LABORATORY

Transmission Line Parameter Calculator
A Clemson ECESS Project by Adam Schneider and Jason Ebers
Calculates the resistance, inductance and capacitance per unit length of common low loss transmission line configurations.

Units: ☐ Metric (mks) ☐ English
Frequency: Hz

Coaxial Line

Diagram: A coaxial cable cross-section with inner radius 'a' and outer radius 'b'.

Formulas:
 $R = \frac{1}{2\pi} \left(\frac{1}{a} + \frac{1}{b} \right) \frac{1}{\sigma} \quad (\Omega/m)$
 $L = \frac{\mu_0}{2\pi} \ln \frac{b}{a} \quad (H/m)$
 $C = \frac{2\pi\epsilon_0\epsilon_r}{\ln \frac{b}{a}} \quad (F/m)$
 $Z_0 = \frac{1}{\sqrt{C/L}} \quad (\Omega)$

Coaxial line

CVEL ELECTROMAGNETIC COMPATIBILITY
THE CLEMSON UNIVERSITY VEHICULAR ELECTRONICS LABORATORY

Transmission Line Parameter Calculator
A Clemson ECESS Project by Adam Schneider and Jason Ebers
Calculates the resistance, inductance and capacitance per unit length of common low loss transmission line configurations.

Units: ☐ Metric (mks) ☐ English
Frequency: Hz

Twin Line

Diagram: Two parallel wires with diameter 'd' and center-to-center distance 's'.

Formulas:
 $R = \frac{1}{\pi} \left(\frac{1}{d} \right) \frac{1}{\sigma} \quad (\Omega/m)$
 $L = \frac{\mu_0}{\pi} \ln \frac{s}{d} \quad (H/m)$
 $C = \frac{\pi\epsilon_0\epsilon_r}{\ln \frac{s}{d}} \quad (F/m)$
 $Z_0 = \frac{1}{\sqrt{C/L}} \quad (\Omega)$

Twin line

CVEL ELECTROMAGNETIC COMPATIBILITY
THE CLEMSON UNIVERSITY VEHICULAR ELECTRONICS LABORATORY

Transmission Line Parameter Calculator
A Clemson ECESS Project by Adam Schneider and Jason Ebers
Calculates the resistance, inductance and capacitance per unit length of common low loss transmission line configurations.

Units: ☐ Metric (mks) ☐ English
Frequency: Hz

Twin strip line

Diagram: Two parallel strips of width 'w' separated by distance 's' on a substrate of thickness 'h'.

Formulas:
 $R = \frac{1}{\pi} \left(\frac{1}{w} \right) \frac{1}{\sigma} \quad (\Omega/m)$
 $L = \frac{\mu_0}{\pi} \ln \frac{s}{w} \quad (H/m)$
 $C = \frac{\pi\epsilon_0\epsilon_r}{\ln \frac{s}{w}} \quad (F/m)$
 $Z_0 = \frac{1}{\sqrt{C/L}} \quad (\Omega)$

Twin strip line

CVEL ELECTROMAGNETIC COMPATIBILITY
THE CLEMSON UNIVERSITY VEHICULAR ELECTRONICS LABORATORY

Transmission Line Parameter Calculator
A Clemson ECESS Project by Adam Schneider and Jason Ebers
Calculates the resistance, inductance and capacitance per unit length of common low loss transmission line configurations.

Units: ☐ Metric (mks) ☐ English
Frequency: Hz

Microstrip Line

Diagram: A microstrip line of width 'w' on a substrate of thickness 'h'.

Formulas:
 $R = \frac{1}{\pi} \left(\frac{1}{w} \right) \frac{1}{\sigma} \quad (\Omega/m)$
 $L = \frac{\mu_0}{\pi} \ln \frac{s}{w} \quad (H/m)$
 $C = \frac{\pi\epsilon_0\epsilon_r}{\ln \frac{s}{w}} \quad (F/m)$
 $Z_0 = \frac{1}{\sqrt{C/L}} \quad (\Omega)$

Microstrip line

Vom vedea la curs ca se defineste impedanta cablului (in anumite conditii)

$$Z_0 = \sqrt{\frac{L_l}{C_l}} \quad [\Omega]$$

La un cablu coaxial (vedeti slide 29) $Z_0 = \sqrt{\frac{\mu_d}{\epsilon_d}} \ln \frac{b}{a}$ - valori tipice intre 50 Ω si 100 Ω .

La aceleasi dimensiuni geometrice (l,a,d=b) o linie bifilara are impedanta dubla fata de cablul coaxial.

4. Modelarea unui cablu coaxial

4.1. Modele de circuit cu parametri concentrați

Inspirat din articolul:

Hong Wu and A. C. Cangellaris, "Model-order reduction of finite-element approximations of passive electromagnetic devices including lumped electrical-circuit models," in *IEEE Transactions on Microwave Theory and Techniques*, vol. 52, no. 9, pp. 2305-2313, Sept. 2004, doi: 10.1109/TMTT.2004.834582.

The first example considered is a **terminated air-filled coaxial cable**. The **length of the coaxial cable is 1 m** and its two electrodes are assumed to be **perfectly conducting**. **The radius of the inner circular cylindrical electrode is 4 mm. The inner radius of the outer circular cylindrical electrode is 8 mm.** The cable is terminated at its **far end by a lumped circuit that includes a 100-pF capacitor in series with the parallel combination of a 5- resistor with a 10-nH inductor**. In addition, on the **driving end of the cable, a 5- shunt resistor is present connecting the two electrodes**. A TL model for this system is straightforward to set up and analyze. For the purposes of macromodeling, what is of interest **is the frequency-dependent input impedance of the resulting circuit.**

F3-EM, 2022-2023

IEEE TRANSACTIONS ON MICROWAVE THEORY AND TECHNIQUES, VOL. 52, NO. 9, SEPTEMBER 2004

2305

Model-Order Reduction of Finite-Element Approximations of Passive Electromagnetic Devices Including Lumped Electrical-Circuit Models

Hong Wu and Andreas C. Cangellaris, *Fellow, IEEE*

Abstract—A methodology is presented for the development of reduced-order macromodels for multiport passive electromagnetic devices that include embedded lumped elements. The proposed methodology utilizes a discrete state-space model for the electromagnetic device, generated through the application of the finite-element method for the spatial discretization of

However, design-driven computer-aided electromagnetic analysis can be effective only if its computational efficiency can support expedient design iteration. For today's designs, the need for computational efficiency is driven primarily by short product design cycles. However, in the not very distant

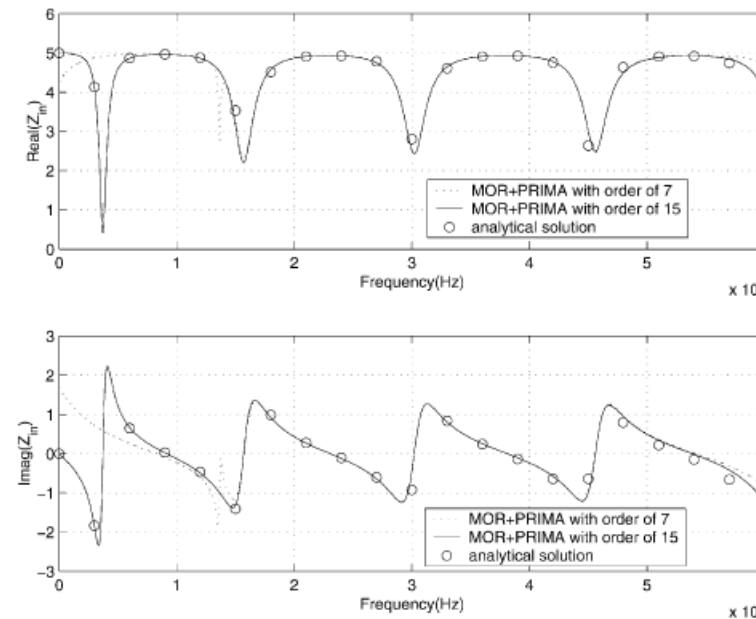


Fig. 1. Input impedance of a terminated coaxial cable.

4. Modelarea unui cablu coaxial

4.1. Modele de circuit cu parametri concentrati

https://cecas.clemson.edu/cvel/emc/calculators/TL_Calculator/index.html

← → ↻ cecac.clemson.edu/cvel/emc/calculators/TL_Calculator/index.html

CVEL **ELECTROMAGNETIC COMPATIBILITY**
THE CLEMSON UNIVERSITY VEHICULAR ELECTRONICS LABORATORY

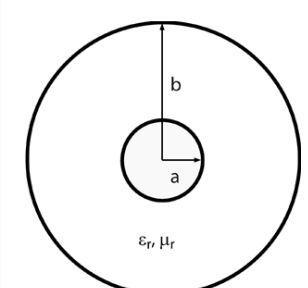
Transmission Line Parameter Calculator
A Clemson ECE635 Project by Adam Schreiber and Jason Byers
Calculates the resistance, inductance and capacitance per unit length of common low-loss transmission line configurations.

Coaxial Line ▾

Units: ☒ Metric (mks) ☐ English

Frequency: Hz

Coaxial Line



a: m
b: m
Metal:
εr:
μr:

$R'_{inner} = \frac{1}{\sigma \pi a^2} \frac{\Omega}{m}, R'_{outer} = \frac{1}{\sigma 2\pi b \delta} \frac{\Omega}{m}, (a < \delta)$
 $R'_{inner} = \frac{1}{\sigma 2\pi a \delta} \frac{\Omega}{m}, R'_{outer} = \frac{1}{\sigma 2\pi b \delta} \frac{\Omega}{m}, (a \geq \delta)$
 $R = R'_{inner} + R'_{outer} \Omega/m, \delta = \frac{1}{\sqrt{\pi f \mu \sigma}} m$

R': Ω/m

$L \approx \frac{\mu}{2\pi} \ln \frac{b}{a} \text{ henrys/m}$

L': H/m

$C \approx \frac{2\pi\epsilon}{\ln \frac{b}{a}} \text{ farads/m}$

C': F/m

$Z_0 \approx \sqrt{\frac{L}{C}} \Omega$

Z0: Ω

Equation Source: Ulaby "Fundamentals of Applied Electromagnetics"

Updates or corrections to this web page should be emailed to CVEL-L@clemson.edu.
Return to [CVEL EMC Home Page](#).

Vom considera un model fara pierderi cu

$$L_l = 1.3863 \cdot 10^{-7} \text{ H/m}$$

$$C_l = 8.0261 \cdot 10^{-11} \text{ F/m}$$

4. Modelarea unui cablu coaxial

4.1. Modele de circuit cu parametri concentrati

Alternativ

```

Editor - D:\Gabriela\cursuri\Fizica3Electromagnetism_2022_2023\P4_teoreme_extragereRLC\matlab\parametri_coax.m
parametri_coax.m
1 % Calculeaza parametrii lineici, impedanta, viteza de propagare
2 % si timpul de intarziere pentru un cablu coaxial fara pierderi
3 % Date: geometria a,b,len
4 % proprietatile de material: epsilon, mu
5 % Se calculeaza:
6 % parametrii lineici L1, C1
7 % impedanta Z0
8 % viteza de propagare v
9 % timpul de intarziere Td
10 % geometrie
11 mm = 1e-3;
12 m = 1;
13 a = 4*mm; % raza conductorului interior
14 b = 8*mm; % raza mantalei
15 len = 1*m; % lungimea cablului
16 P = 2*pi*log(b/a); % permeanta geometrica
17 % material
18 eps0 = 8.854187812813e-12; % F/m - permitivitatea vidului
19 mu0 = 4*pi*1e-7; % H/m - permeabilitatea vidului
20 epsr = 1;
21 mur = 1;
22 eps_d = eps0*epsr; % F/m permitivitatea dielectricului
23 mu_d = mu0*mur; % H/m permeabilitatea dielectricului
24 % parametrii lineici
25 C1 = eps_d/P; % F/m - capacitatea lineica
26 L1 = mu_d/P; % H/m - inductivitatea lineica
27 % impedanta
28 Z0 = sqrt(L1/C1); % Ohm - impedanta cablului
29 v = 1/sqrt(L1*C1); % m/s - viteza de propagare a semnalului
30 Td = len/v; % s - intarzierea semnalului

```

```

31 - clc
32 - fprintf("L1 = %g H/m \n",L1);
33 - fprintf("C1 = %g F/m \n",C1);
34 - fprintf("Z0 = %g Ohm \n",Z0);
35 - fprintf("v = %g m/s \n",v);

```

Command Window

```

L1 = 1.38629e-07 H/m
C1 = 8.02607e-11 F/m
Z0 = 41.5601 Ohm
v = 2.99792e+08 m/s
Td = 3.33564e-09 s

```

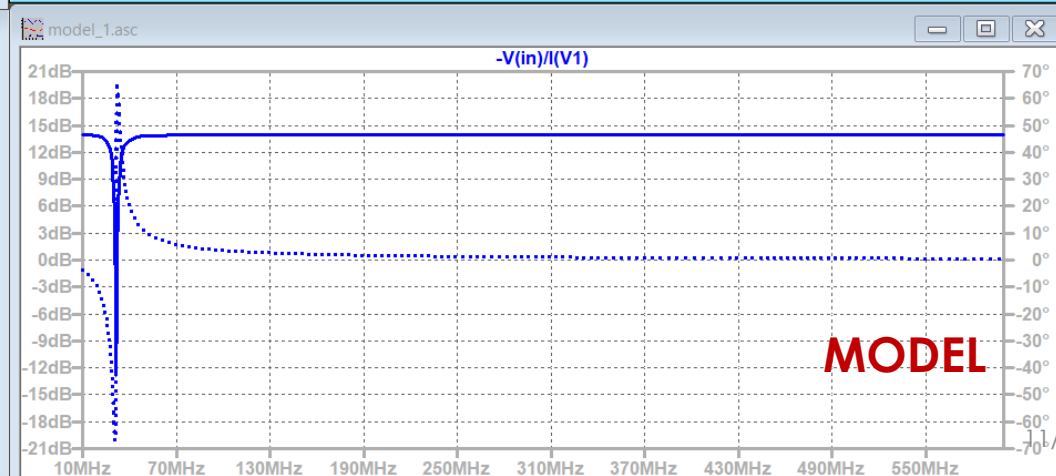
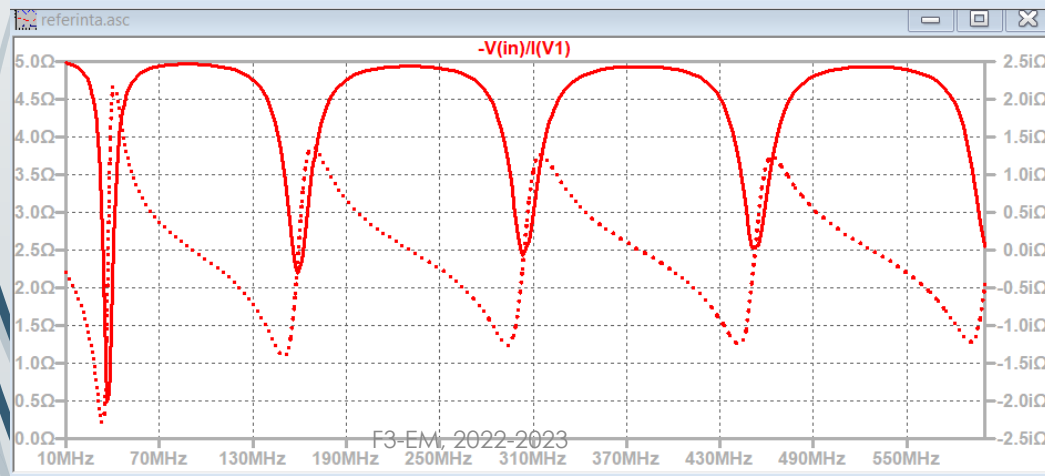
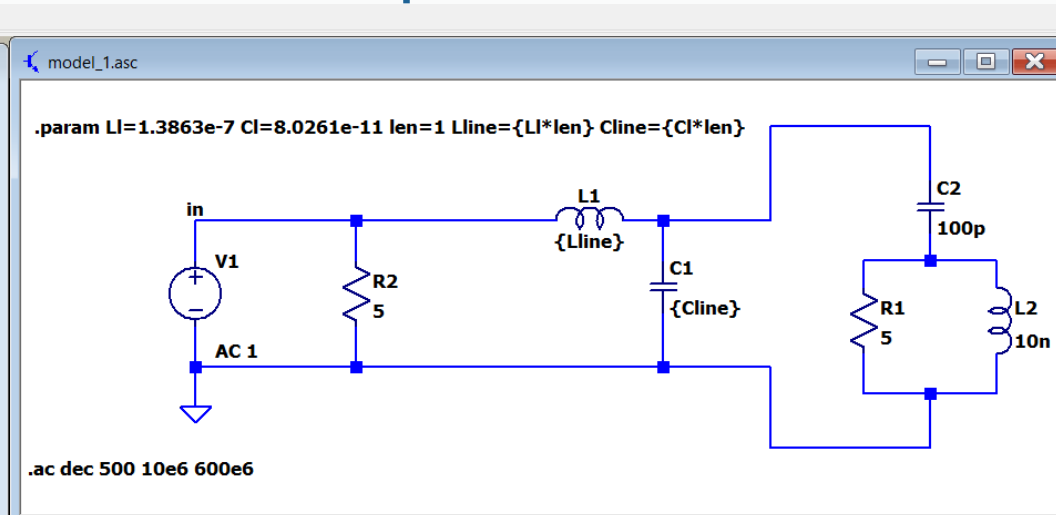
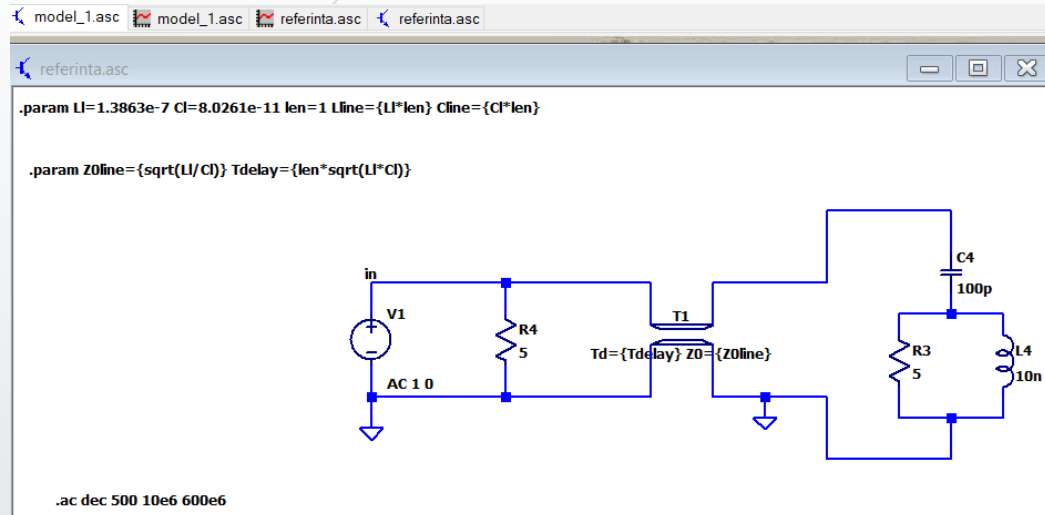
fx >>

(cod disponibil pe moodle)

4. Modelarea unui cablu coaxial

4.2. Modele si simulari in LTSpice

Simulari in frecventa
[10MHz,600MHz]



11/21/2022

REFERINTA (validate de rezultatele din articol)

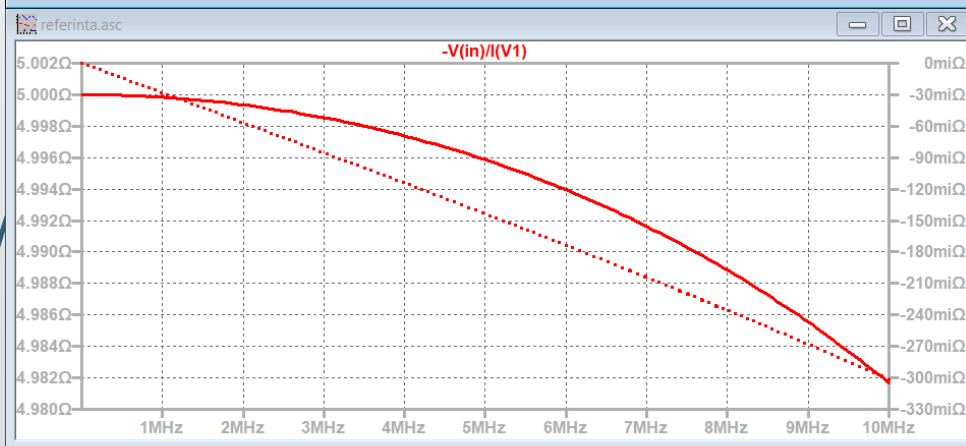
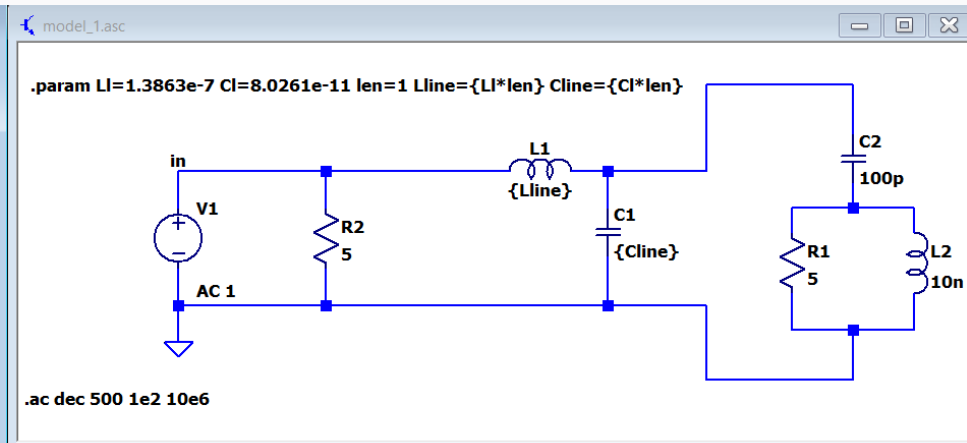
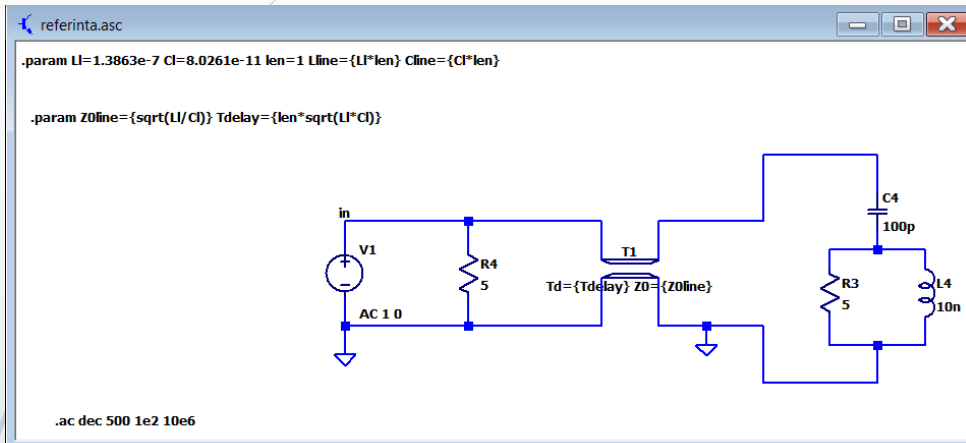
Nu e potrivit pentru frecvente > 1 MHz.

4. Modelarea unui cablu coaxial

4.2. Modele si simulari in LTSpice

Simulari in frecventa

[100 Hz, 10MHz]



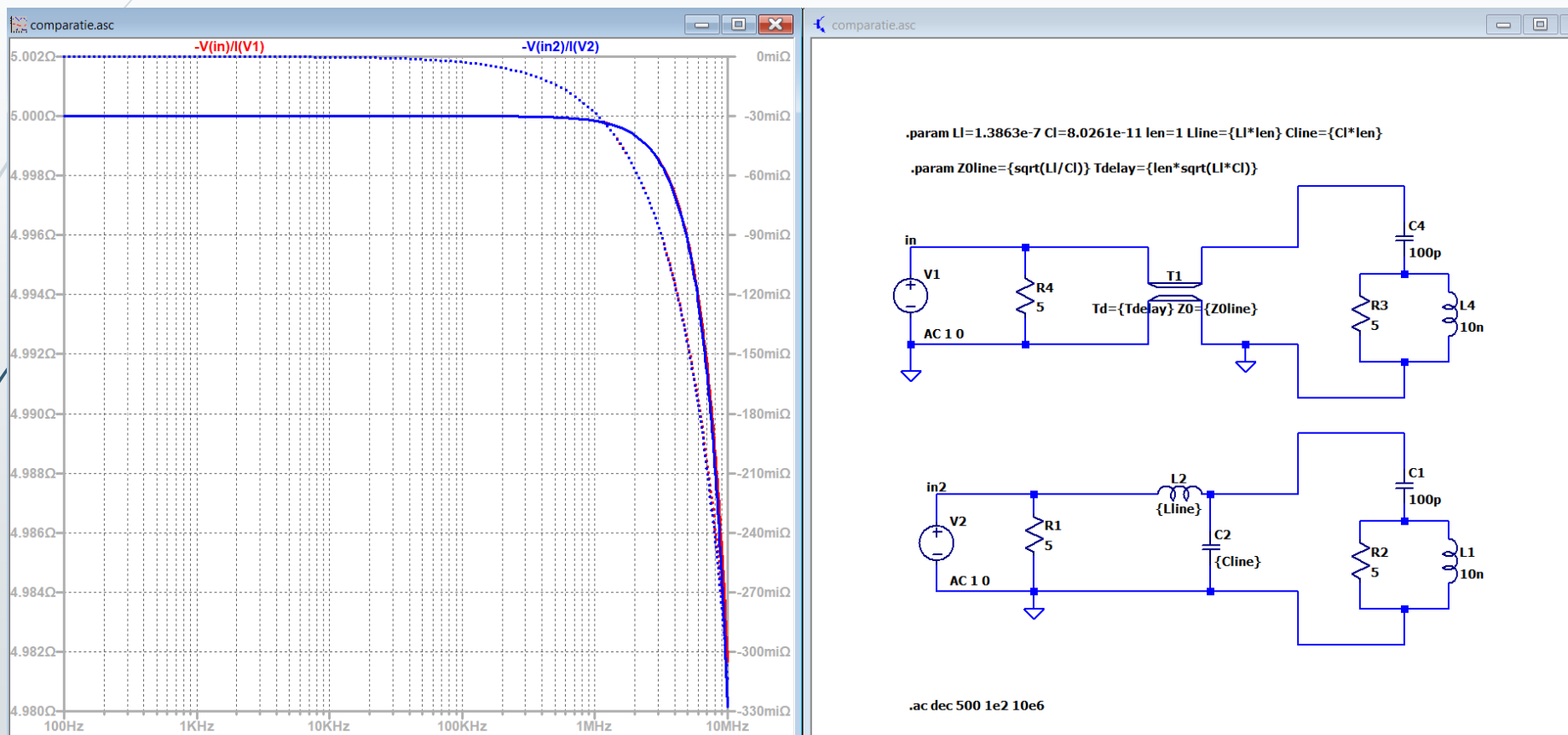
Rezultate
similare.
Ar fi util sa le
vizualizam
pe acelasi
grafic.

4. Modelarea unui cablu coaxial

4.2. Modele si simulari in LTSpice

Simulari in frecventa

[100 Hz, 10MHz]



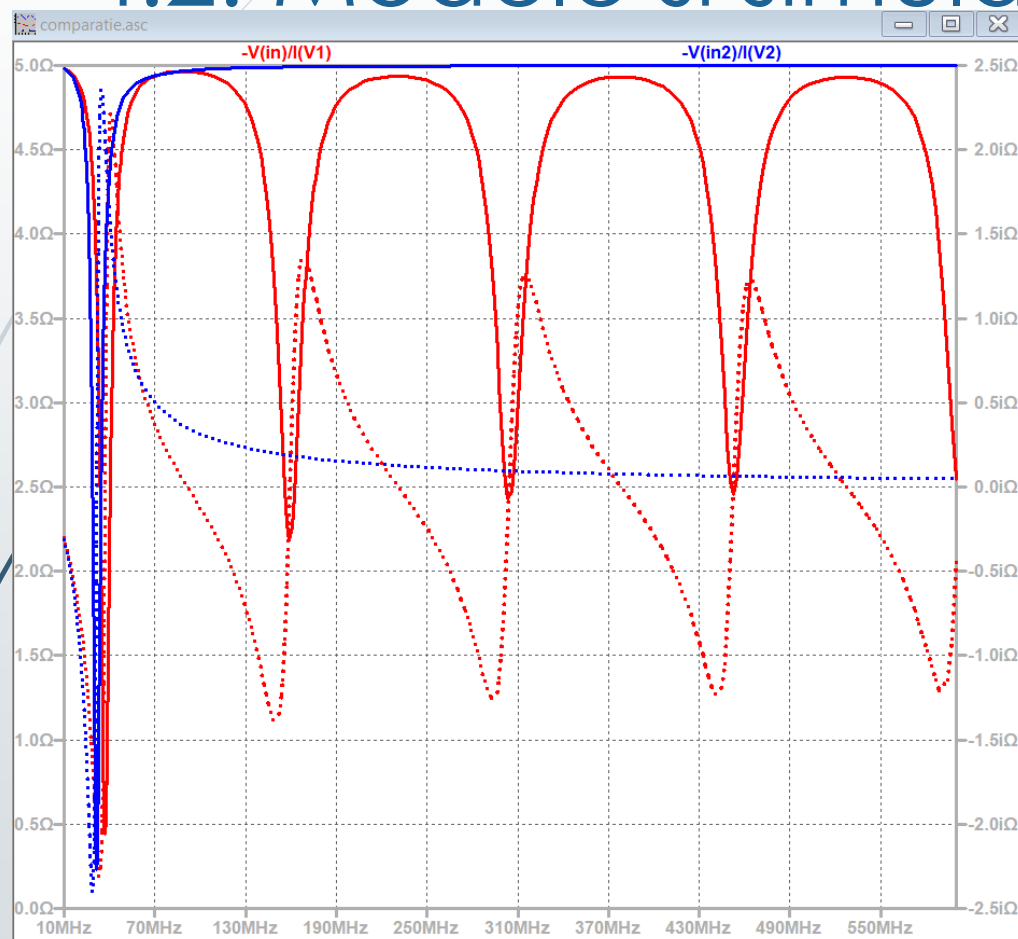
Referinta si model

(Pentru a putea realiza mai usor comparatiile – circuitele sunt descrise in acelasi fisier)

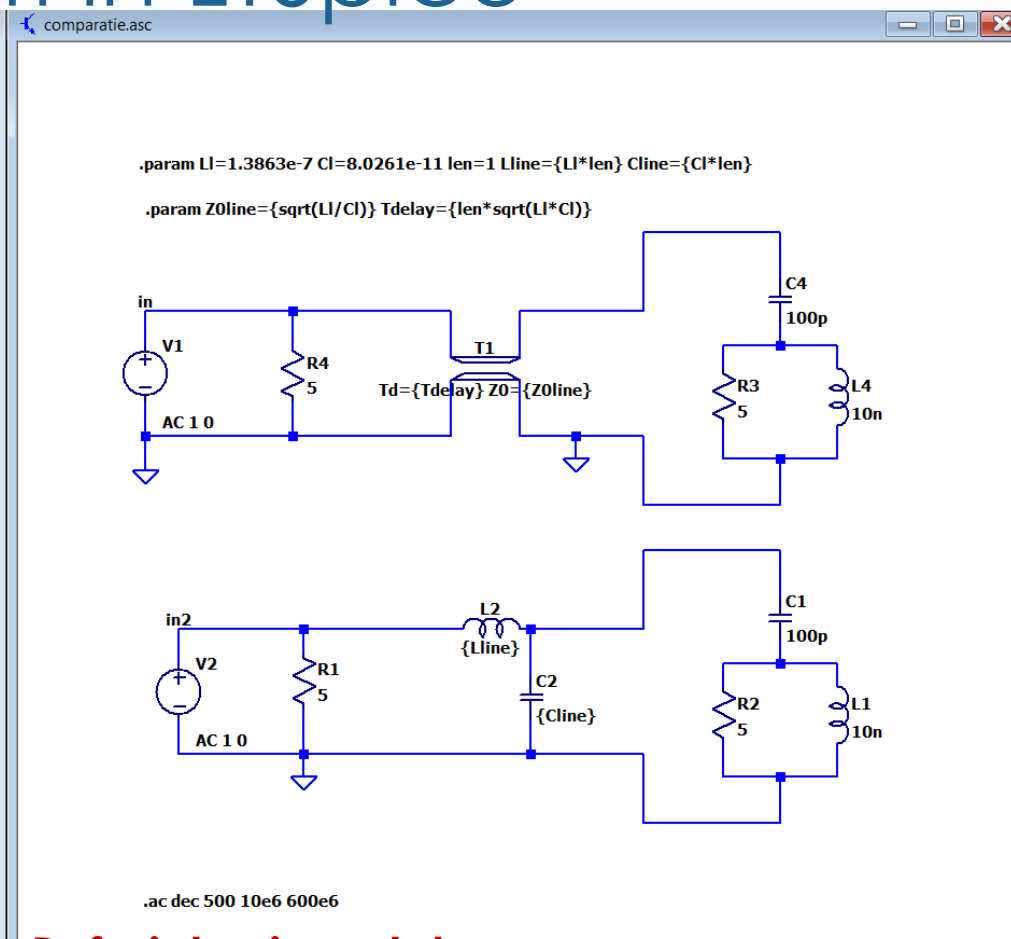
4. Modelarea unui cablu coaxial

4.2. Modele si simulari in LTSpice

Simulari in frecventa
[10MHz,600MHz]



F3-EM, 2022-2023



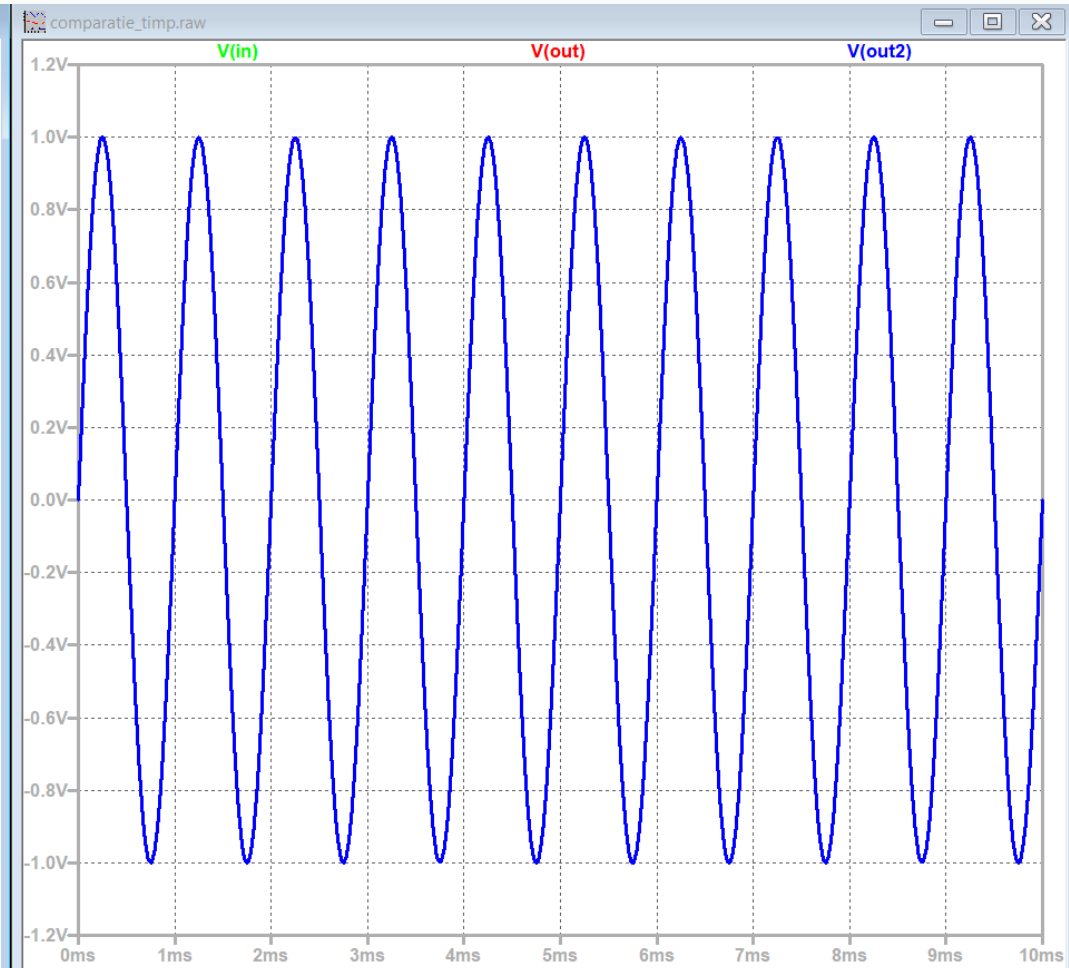
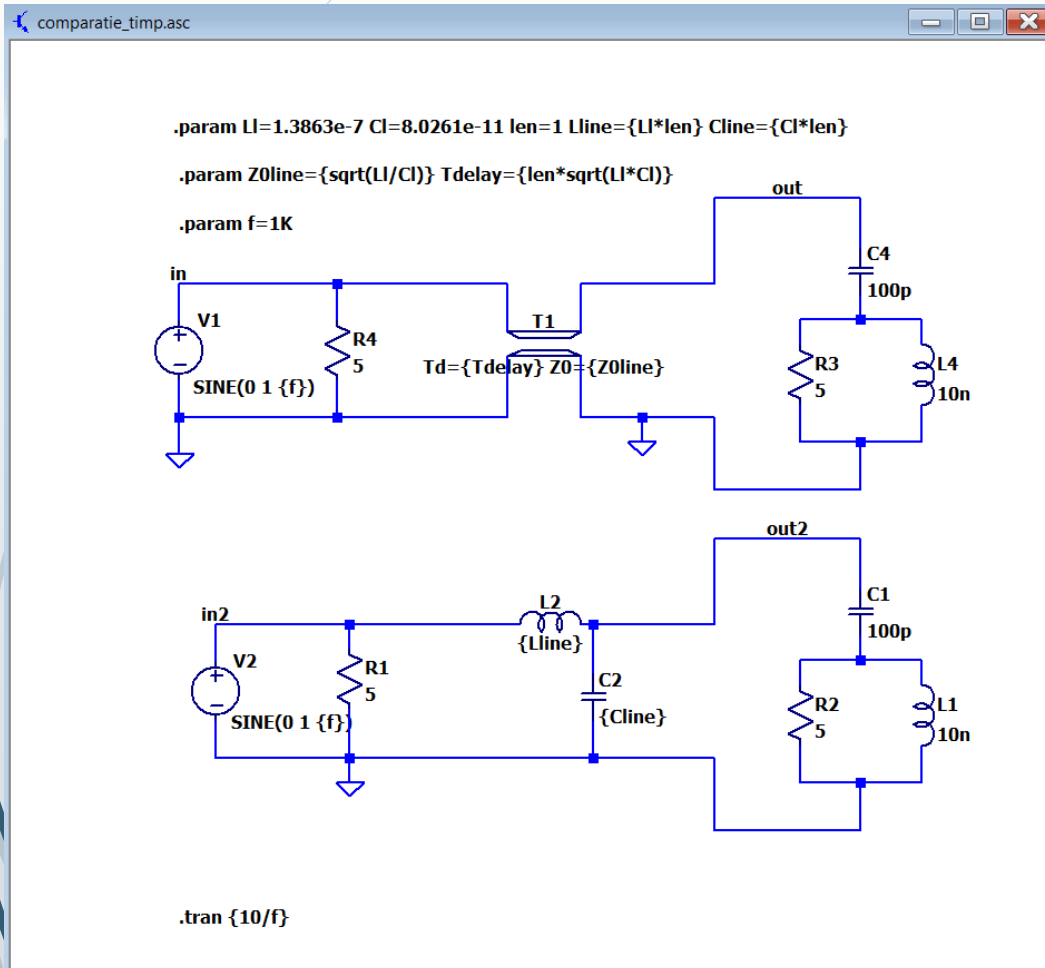
Referinta si model

11/21/2022

4. Modelarea unui cablu coaxial

4.2. Modele si simulari in LTSpice

Simulari in timp



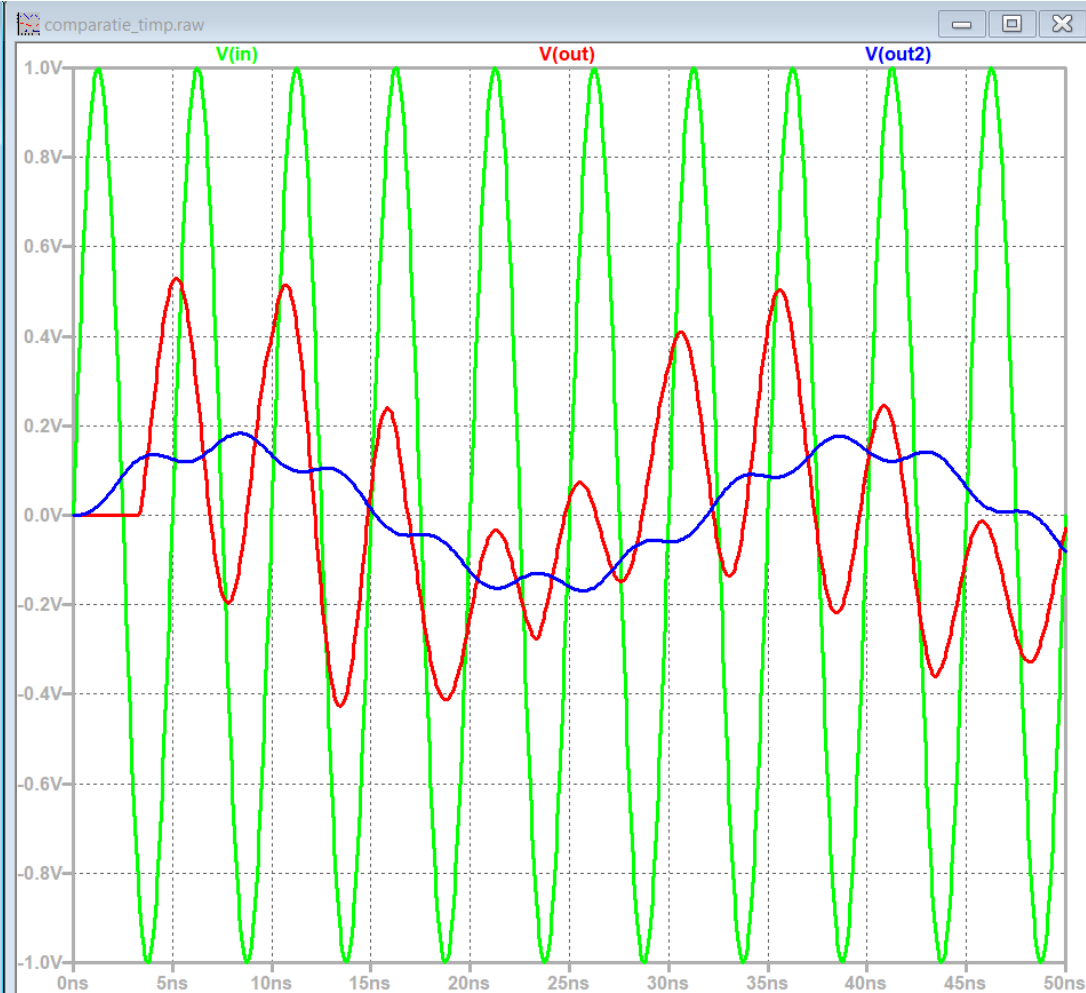
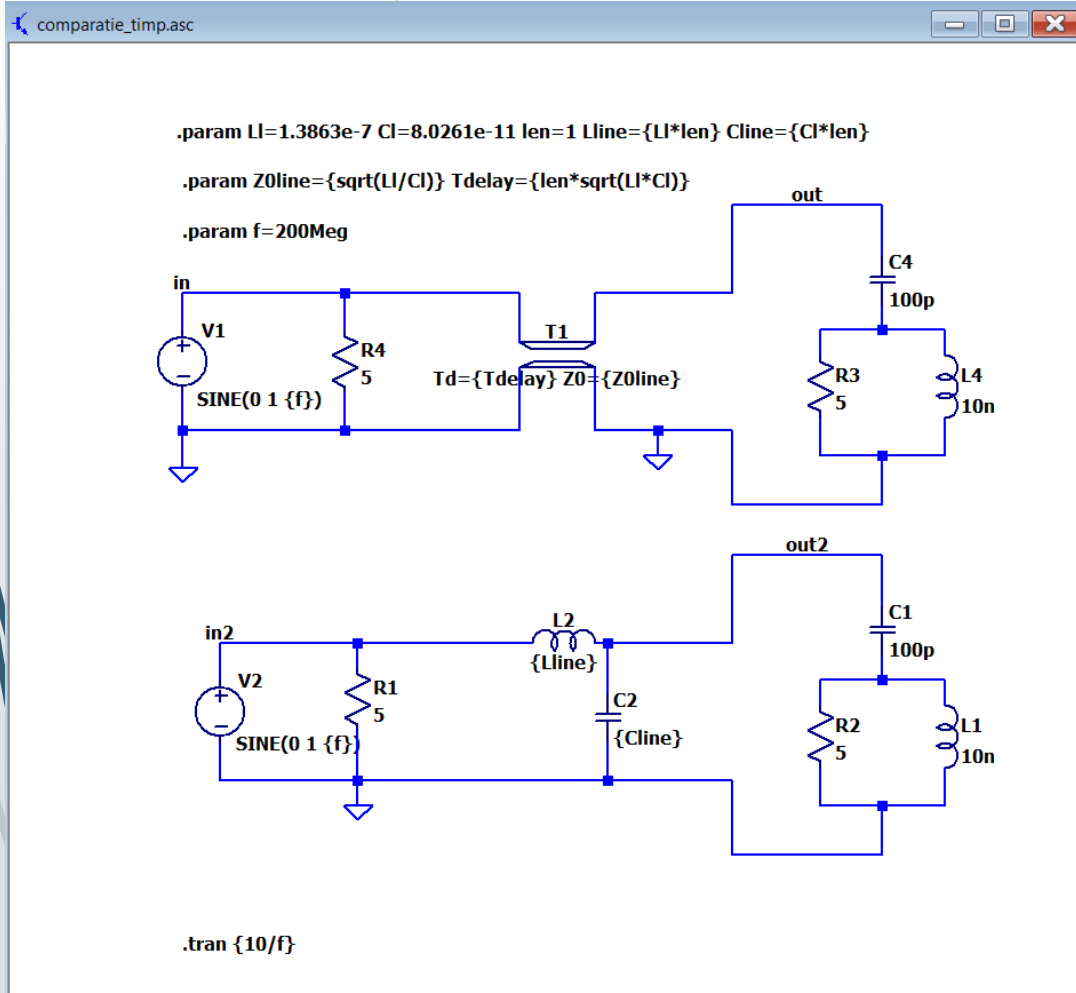
$f = 1\text{kHz}$

Toate semnale sunt identice

4. Modelarea unui cablu coaxial

4.2. Modele si simulari in LTSpice

Simulari in timp

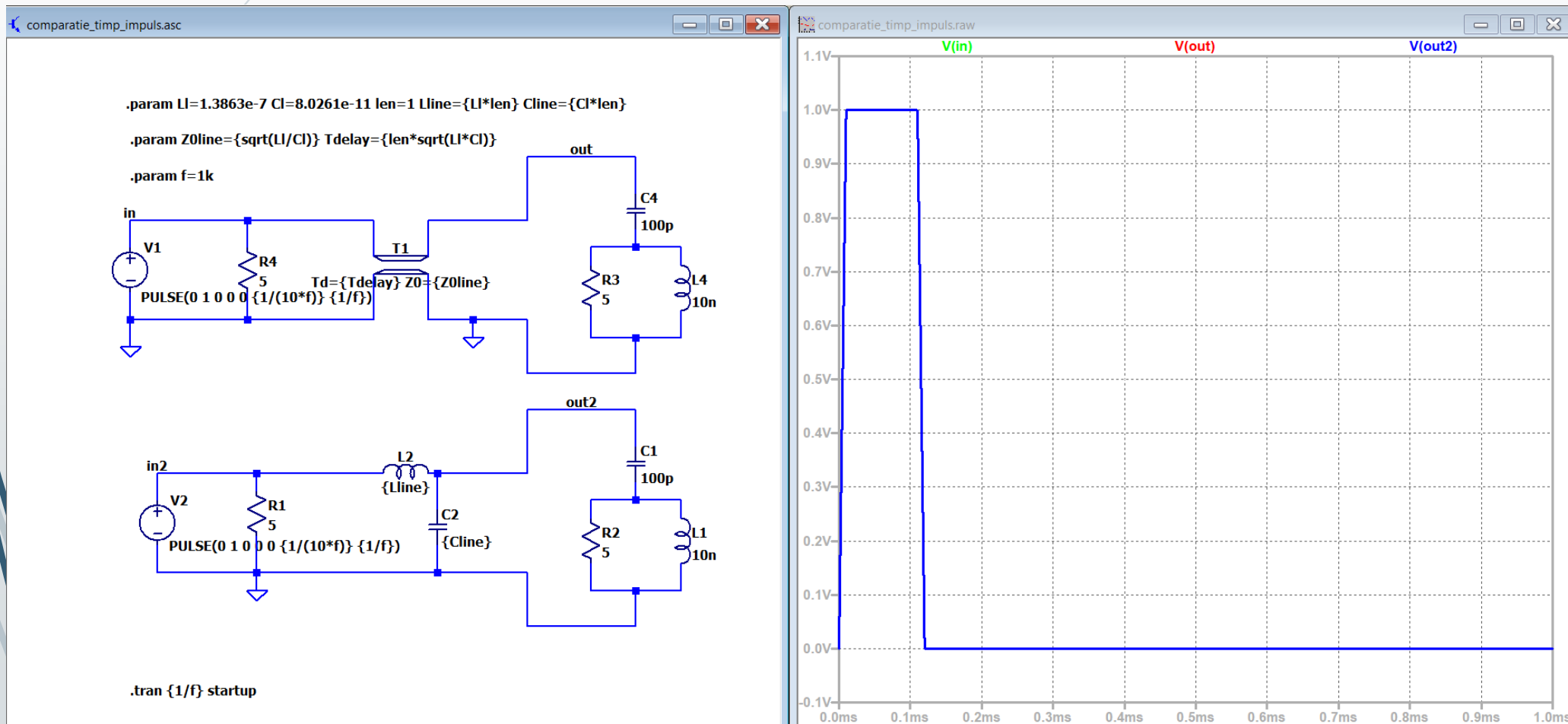


$f = 200\text{MHz}$

4. Modelarea unui cablu coaxial

4.2. Modele si simulari in LTSpice

Simulari in timp



Impuls,
frecventa
mica

4. Modelarea unui cablu coaxial

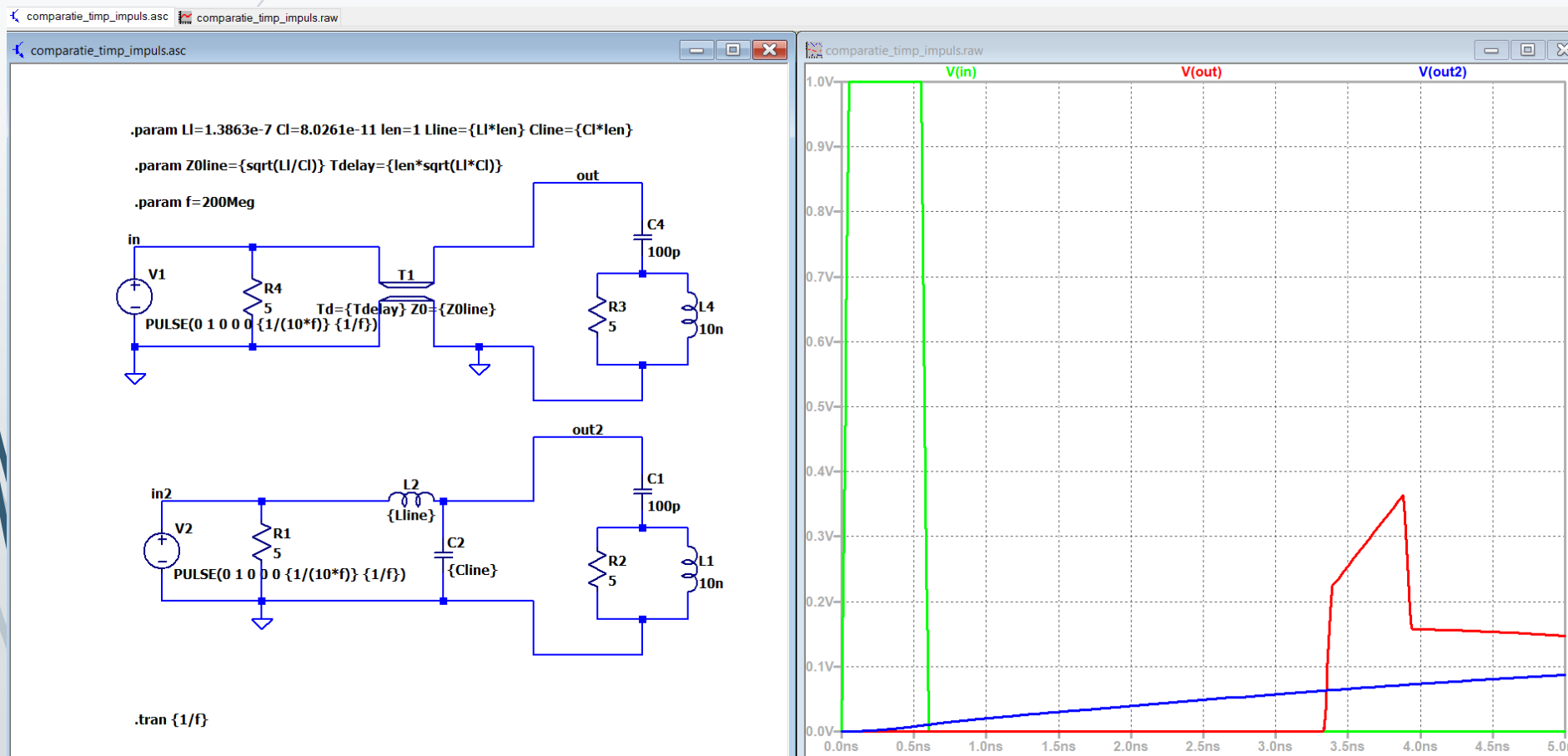
4.2. Modele si simulari in LTSpice

Simulari in timp

Impuls,
frecventa
mare

Se vede T_d de
3.3 ns.

Modelul cu
parametri
concentrati nu
este bun pentru
aceasta
frecventa.

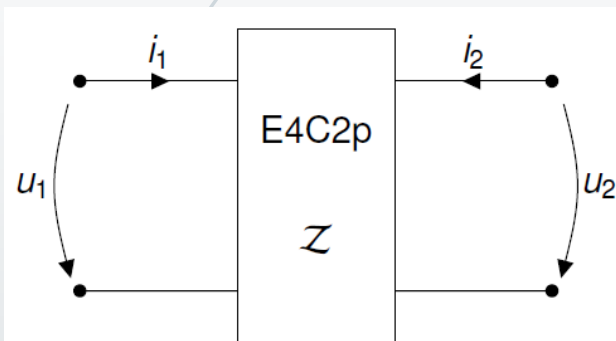


4. Modelarea unui cablu coaxial

4.3. Rezolvare analitica in r.a.p.[facultativ]

Reamintire de la ELTH – elemente cuadripolare de tip diport:

- Control in current:

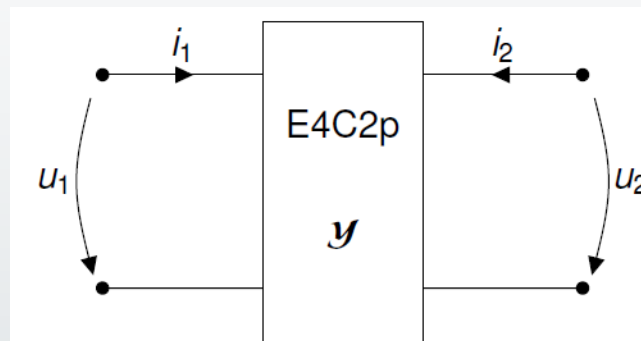


Element cuadripolar de tip diport. Dacă pentru ambele porturi se adoptă regula de la receptoare, atunci, relația constitutivă este dată de (1).

$$\mathbf{u} = \mathbf{Z}\mathbf{i} \quad (1)$$

$$\begin{bmatrix} u_1 \\ u_2 \end{bmatrix} = \begin{bmatrix} Z_{11} & Z_{12} \\ Z_{21} & Z_{22} \end{bmatrix} \begin{bmatrix} i_1 \\ i_2 \end{bmatrix} \quad (2)$$

- Control in tensiune:

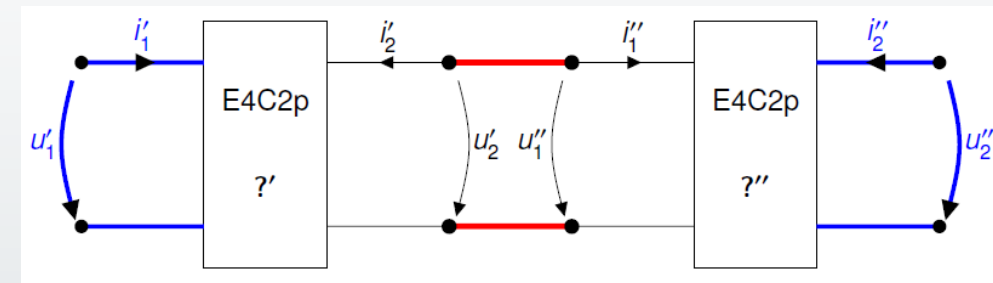


Element cuadripolar de tip diport. Dacă pentru ambele porturi se adoptă regula de la receptoare, atunci, relația constitutivă este dată de (10).

$$\mathbf{i} = \mathbf{y}\mathbf{u} \quad (10)$$

$$\begin{bmatrix} i_1 \\ i_2 \end{bmatrix} = \begin{bmatrix} y_{11} & y_{12} \\ y_{21} & y_{22} \end{bmatrix} \begin{bmatrix} u_1 \\ u_2 \end{bmatrix} \quad (11)$$

- Conexiune in cascada.



$$\begin{aligned} -i_2' &= i_1'' \\ u_2' &= u_1'' \end{aligned}$$

$$\begin{bmatrix} u_1 \\ i_1 \end{bmatrix} = \begin{bmatrix} \mathcal{T}_{11} & \mathcal{T}_{12} \\ \mathcal{T}_{21} & \mathcal{T}_{22} \end{bmatrix} \begin{bmatrix} u_2 \\ -i_2 \end{bmatrix}$$

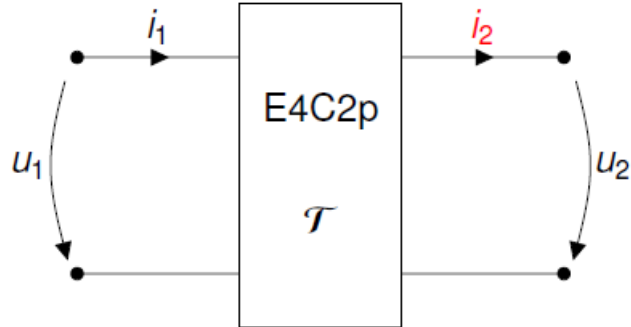
MINUS !

Matrice de transfer

11/21/2022

4. Modelarea unui cablu coaxial

4.3. Rezolvare analitica in r.a.p.[facultativ]

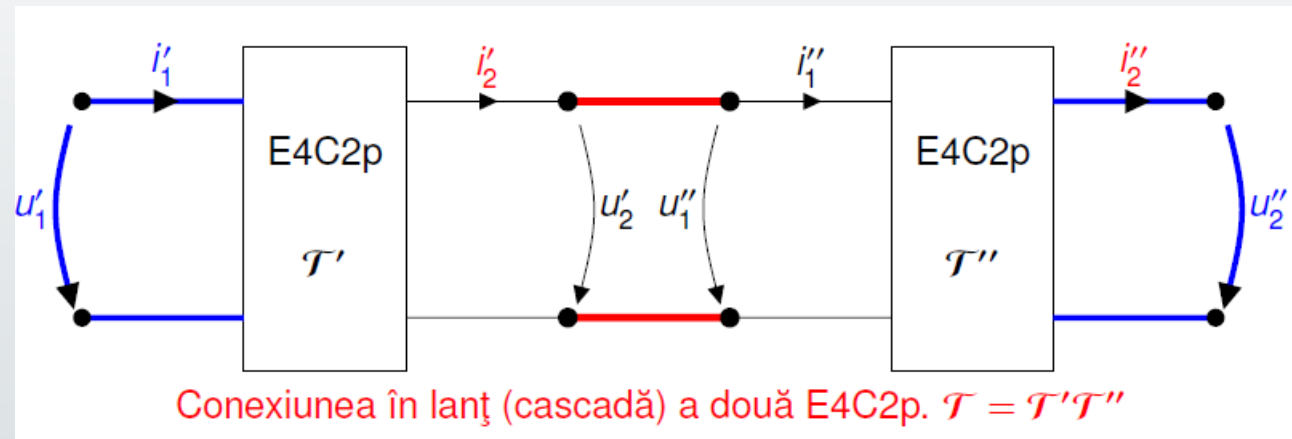


Element cuadripolar de tip diport. Portul 1 este în regula de la receptoare și portul 2 este în regula de la generatoare. Relația constitutivă este dată de (22).

$$\mathbf{p1} = \mathcal{T} \mathbf{p2} \quad (22)$$

$$\begin{bmatrix} U_1 \\ i_1 \end{bmatrix} = \begin{bmatrix} \mathcal{A} & \mathcal{B} \\ \mathcal{C} & \mathcal{D} \end{bmatrix} \begin{bmatrix} U_2 \\ i_2 \end{bmatrix} \quad (23)$$

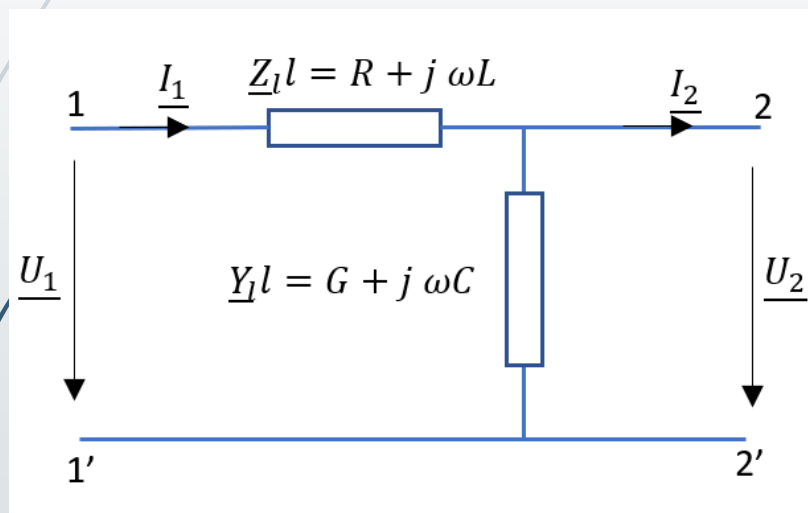
Avantajul folosirii matricei de transfer:



4. Modelarea unui cablu coaxial

4.3. Rezolvare analitica in r.a.p.[facultativ]

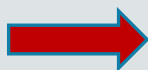
Exemplu – determinarea matricei de transfer pentru modelul de circuit simplu al unui cablu:



$$\begin{bmatrix} \underline{U}_1 \\ \underline{I}_1 \end{bmatrix} = \begin{bmatrix} A & B \\ C & D \end{bmatrix} \begin{bmatrix} \underline{U}_2 \\ \underline{I}_2 \end{bmatrix}$$

$$\underline{U}_1 = (R + j\omega L) [\underline{I}_2 + (G + j\omega C)\underline{U}_2] + \underline{U}_2$$

$$\underline{I}_1 = (G + j\omega C) \underline{U}_2 + \underline{I}_2$$



$$A = (R + j\omega L)(G + j\omega C) + 1$$

$$B = (R + j\omega L)$$

$$C = (G + j\omega C)$$

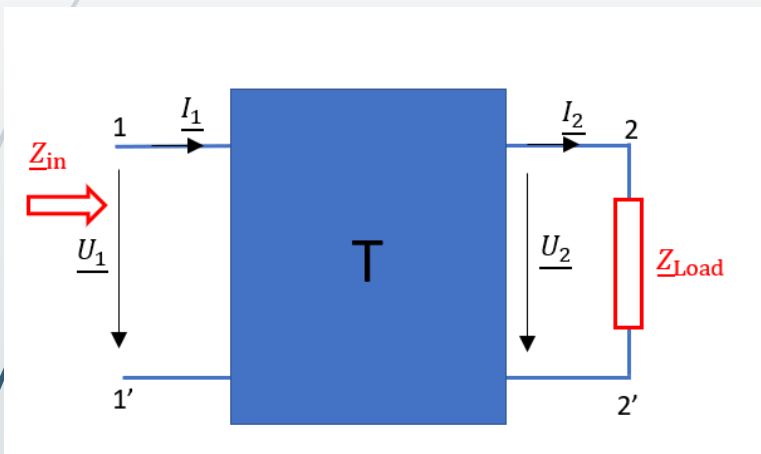
$$D = 1$$

(*1)

4. Modelarea unui cablu coaxial

4.3. Rezolvare analitica in r.a.p.[facultativ]

Sa pp ca la poarta de iesire a diportului se conecteaza o sarcina. Sa calculam impedanta echivalenta la poarta de intrare a diportului.



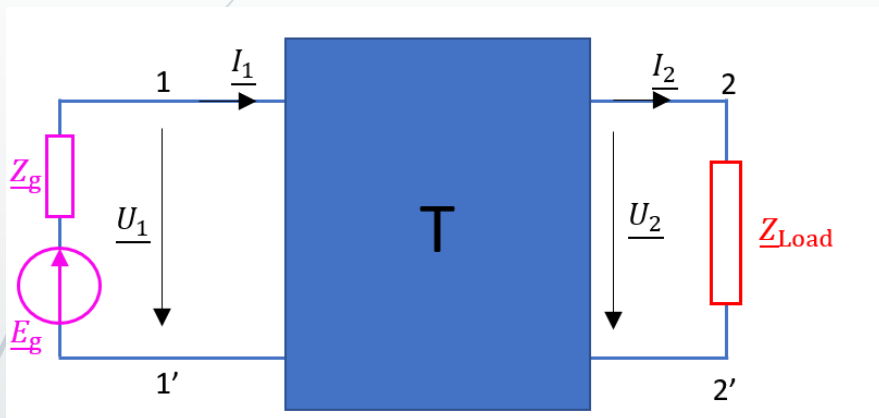
$$\begin{bmatrix} \underline{U}_1 \\ \underline{I}_1 \end{bmatrix} = \begin{bmatrix} A & B \\ C & D \end{bmatrix} \begin{bmatrix} \underline{U}_2 \\ \underline{I}_2 \end{bmatrix}$$

$$\underline{U}_2 = \underline{Z}_{\text{Load}} \underline{I}_2$$

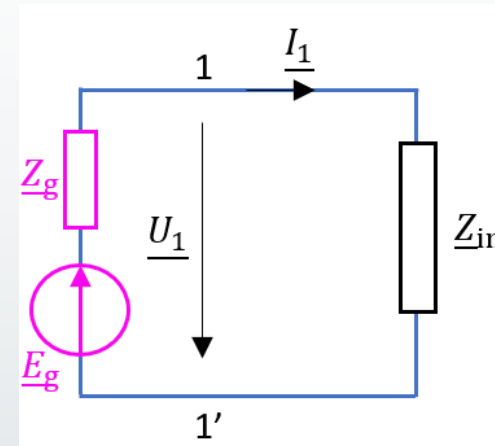
$$\underline{Z}_{\text{in}} = \frac{\underline{U}_1}{\underline{I}_1} = \frac{A \underline{U}_2 + B \underline{I}_2}{C \underline{U}_2 + D \underline{I}_2} = \frac{A \underline{Z}_{\text{Load}} + B}{C \underline{Z}_{\text{Load}} + D} \quad (*2)$$

4. Modelarea unui cablu coaxial

4.3. Rezolvare analitica in r.a.p.[facultativ]



Echiv fata de intrare cu



marimile de intrare

$$\underline{I}_1 = \frac{\underline{E}_g}{\underline{Z}_g + \underline{Z}_{in}}$$

$$\underline{U}_1 = \underline{Z}_{in} \underline{I}_1$$

(*3)

marimile de iesire

$$\begin{bmatrix} \underline{U}_2 \\ \underline{I}_2 \end{bmatrix} = \begin{bmatrix} A & B \\ C & D \end{bmatrix}^{-1} \begin{bmatrix} \underline{U}_1 \\ \underline{I}_1 \end{bmatrix}$$

(*4)

CONCLUZIE

Parametrii lineici depind de datele geometrice si de material si ei se determina prin rezolvarea unei probleme de camp electromagnetic.

Ei determina:

- ***intarzierea si perturbarea semnalului transmis pe linie, deci si***
- ***frecventa maxima la care poate fi folosit un cablu pentru transmiterea datelor digitale.***

Notare

➤ Rezolvati quiz-ul P4.

➤ Pentru bonus (pana in saptamana 14)

- – crearea unor figuri/animatii proprii ilustrative pentru cursul de EM, folosind coduri proprii si instrumente software mai performante, de exemplu <https://vtk.org/>, <https://www.paraview.org/>
- - realizarea unor experimente virtuale/reale care sa ilustreze conceptele discutate.